



TDK DOLGOZAT

A Pauli-csoport és Veldkamp-egyenesei
kombinatorikus megközelítésben

Szabó Zsolt

Konzulens: Dr. Lévay Péter
Tudományos főmunkatárs
BME Fizika Intézet
Elméleti Fizika Tanszék

BME

2016. november 2.

Tartalomjegyzék

1. Bevezetés	1
2. A Pauli-csoport szimplektikus struktúrája	1
3. Kvadratikus formák és kvadratikus felületek	3
4. Geometriák és geometriai hipersíkok	7
5. Az N -qubit Pauli-csoport Veldkamp-tere	10
6. A Pauli-csoport szimplektikus struktúrája egy másik szemszögből	16
7. Kvadratikus formák és egy kanonikus Veldkamp-egyenes	19
8. A kanonikus Veldkamp-egyenes stabilizátor csoportja	24
9. Veldkamp-egyenesek a szimplektikus faktorterekben	28
A. Függelék: $\binom{n}{2} \bmod 2$ és Q_0 tulajdonságai	32
B. Függelék: a transzvektciók tulajdonságai	34
C. Függelék: számtáblázatok	35
Hivatkozások	36

1. Bevezetés

A kvantummechanika nemkontextuális rejtett-paraméter elméleteit kizáró konfigurációk iránt folyamatos az érdeklődés. Ez különösen igaz a Pauli-csoportból pont-egyenes geometriaként előbukkanó konfigurációkra, amelyek közül a legismertebbek a Mermin-négyzetek és a Mermin-pentagrammák [6].

Az ilyen konfigurációknak a vizsgálata során gyakran adódnak olyan esetek, amikor valamilyen $\{1, \dots, n\}$ halmaznak a k -elemű részhalmazai bukkannak elő; lásd pl. [5]. A dolgozatban az eddigi módszereink és a kényelmes kombinatorikus módszerek kapcsolatának a matematikai háttérét szeretném tisztázni. Ebben a fizikusok által kevésbé ismert Veldkamp-egyenesek fontos szerepet kapnak. A kombinatorikus megközelítés nem teljesen új, de valamiért mégsem terjedt el a témával foglalkozó fizikusok között, pedig nyilvánvaló előnyei miatt jelentősen megkönnyíti a vizsgálgóást, főleg ha viszonylag sok qubittel kell dolgoznunk.

Szeretnék köszönetet mondani *a családomnak* a megértésért és hogy megteremtik a lehetőséget, hogy a tudománnyal foglalkozhassak, *Vrana Péternek* a bírálói feladat elvállalásáért, végezetül pedig *Lévay Péter* konzulensemnek a kitartásáért és a támogatásáért.

2. A Pauli-csoport szimplektikus struktúrája

Ez a szakasz többnyire az [5] munkából merít, az egyes részek viszonylag kevés módosítással lettek átvéve; lásd még [4]. Tehát az ismertetett gondolatok nem újak, viszont a teljesség miatt itt kell lenniük, és az új megközelítéssel is érdemes őket összehasonlítani.

Egy véges dimenziós \mathcal{H} Hilbert-tér által leírt kvantum rendszer *megfigyelhető mennyiségeit* a \mathcal{H} -n értelmezett önadjungált operátorok reprezentálják. Egy rögzített \mathcal{H} -beli bázisban minden ilyen operátornak a mátrixa hermitikus. Kétállapotú kvantum rendszer, vagy elterjedtebb nevén: *qubit* esetén 2×2 -es mátrixokról van szó, és az általuk kifeszített vektortérnek egy bázisa $\{I, X, Z, Y\}$. Itt I a 2×2 egységmátrix, és X , Z és Y a három *Pauli spin mátrix*, melyek definíciója

$$X = \begin{pmatrix} 0 & 1 \\ 1 & 0 \end{pmatrix}, \quad Z = \begin{pmatrix} 1 & 0 \\ 0 & -1 \end{pmatrix}, \quad Y = iXZ = \begin{pmatrix} 0 & -i \\ i & 0 \end{pmatrix}. \quad (2.1)$$

A továbbiakban egy N darab qubitből álló kvantum rendszer megfigyelhető mennyiségei közül azok lesznek érdekesek, amelyek mátrixai az I , X , Z és Y mátrixok N -szeres Kronecker-szorzatai. Ezeket a $2^N \times 2^N$ -es mátrixokat *N -qubit*

Pauli-operátoroknak hívom, és legtöbbször a kifejezésükből elhagyom a „ \otimes ” jelet, például $X \otimes I \otimes Z$ helyett csak annyit írok, hogy XIZ .

Az N -qubit Pauli-operátorok által generált csoport

$$\mathcal{P}_N = \{sA_1A_2\dots A_N \mid s = \pm 1, \pm i, A_i = I, X, Z, Y\}, \quad (2.2)$$

és ennek a neve: N -qubit Pauli-csoport. \mathcal{P}_N centruma

$$Z(\mathcal{P}_N) = \{sI_N \mid s = \pm 1, \pm i\} \quad (2.3)$$

ahol I_N a $2^N \times 2^N$ -es egységmátrix. $Z(\mathcal{P}_N)$ megegyezik \mathcal{P}_N -nek a $[\mathcal{P}_N, \mathcal{P}_N]$ kommutátor-részcsoportjával, ezért a $\mathcal{P}_N/Z(\mathcal{P}_N)$ faktorcsoport Abel-féle. Ismert, hogy $\mathcal{P}_N/Z(\mathcal{P}_N)$ elemei

$$\{sA_1A_2\dots A_N \mid s = \pm 1, \pm i\} \quad (2.4)$$

alakú ekvivalenciaosztályok. Mindegyik osztályból reprezentánsnak az $A_1A_2\dots A_N$ Pauli-operátort célszerű kiválasztani.

Következő lépésként nézzük \mathcal{P}_N a szimplektikus vektortér struktúráját. (2.1) alapján, egy tetszőleges $A = sA_1\dots A_N \in \mathcal{P}_N$ csoportelem úgy írható, hogy

$$A = s \left(i^{\sum_i a_i b_i}\right)^{-1} X^{a_1} Z^{b_1} \otimes \dots \otimes X^{a_N} Z^{b_N}, \quad (2.5)$$

ahol az X , illetve Z mátrixok kitevői 0 vagy 1 értéket vehetnek fel, és az i kitevőjében szereplő szumma a természetes számok \mathbb{N} halmazán értelmezett szummát jelenti. (2.5) azt mutatja, hogy a

$$(s, a_1, \dots, a_N, b_1, \dots, b_N) \quad (2.6)$$

rendezett $2N + 1$ -es egyértelműen azonosítja az A csoportelemet. A $2N + 1$ -es első elemét, azaz s -et elhagyva egy

$$\mathbf{x} = (a_1, \dots, a_N, b_1, \dots, b_N) \in \mathbb{Z}_2^{2N} \quad (2.7)$$

vektor adódik. Ez az \mathbf{x} vektor az $A_1\dots A_N$ Pauli-operátort azonosítja, így azonosítja az $A_1\dots A_N$ -et tartalmazó $\mathcal{P}_N/Z(\mathcal{P}_N)$ -beli ekvivalenciaosztályt is. Az utóbbit jelölje (\mathbf{x}) . Gyakran a vektorokat, amilyen (2.7) is, szemléletesebb N -qubit Pauli-operátorokként kiírni 0-k és 1-ek $2N$ hosszú sorozata helyett. Például, a (2.5) formulával összhangban, $(1, 1, 0, 0, 1, 1)$ ekvivalens azzal, hogy XYZ .

Az X és Z Pauli-mátrixok teljesítik azt, hogy

$$ZX = -XZ \quad \text{és} \quad X^2 = Z^2 = I. \quad (2.8)$$

Emiatt, az $A, A' \in \mathcal{P}_N$ mátrixok AA' szorzatára (2.6) úgy néz ki, hogy

$$\left(ss'(-1)^{\sum_i a'_i b_i}, a_1 + a'_1, \dots, b_N + b'_N \right), \quad (2.9)$$

ahol „+” a modulo 2 összeadást jelenti, ami nem más, mint a \mathbb{Z}_2 -beli összeadás. A (2.9) formulából látszik, hogy a $\mathcal{P}_N/Z(\mathcal{P}_N)$ -beli csoportszorzás a \mathbb{Z}_2^{2N} -beli vektorösszeadást indukálja: ha $A \in (\mathbf{x})$ és $A' \in (\mathbf{x}')$,

$$AA' \in (\mathbf{x} + \mathbf{x}'). \quad (2.10)$$

A (2.9) formulából az is látszik, hogy A és A' akkor és csak akkor kommutál, ha

$$\sum_{i=1}^N (a_i b'_i - a'_i b_i) = 0 \pmod{2}, \quad (2.11)$$

ellenkező esetben a két mátrix antikommutál. (2.11) bal oldala egy nemdegenerált, ferdén szimmetrikus bilineáris formát indukál a \mathbb{Z}_2^{2N} vektortéren¹:

$$\langle \cdot, \cdot \rangle : \mathbb{Z}_2^{2N} \times \mathbb{Z}_2^{2N} \rightarrow \mathbb{Z}_2, \quad \langle \mathbf{x}, \mathbf{x}' \rangle = \sum_{i=1}^N (a_i b'_i + b_i a'_i) \quad (2.12)$$

Általánosan, egy nemdegenerált, ferdén szimmetrikus bilineáris formát *szimplektikus formának*, és egy ilyenellátott vektorteret *szimplektikus vektortérnek* hívunk. Tehát a \mathbb{Z}_2^{2N} vektortér a (2.12) szimplektikus formával ellátva egy \mathbb{Z}_2 feletti szimplektikus vektorteret alkot, amit a továbbiakban V_N jelöl.

$\langle \cdot, \cdot \rangle$ azt jelenti, hogy ha adottak az $(\mathbf{x}), (\mathbf{x}') \in \mathcal{P}_N/Z(\mathcal{P}_N)$ ekvivalenciaosztályok, ahol $\mathbf{x}, \mathbf{x}' \in V_N$, egy tetszőleges $A \in (\mathbf{x})$ mátrix akkor és csak akkor kommutál egy tetszőleges $A' \in (\mathbf{x}')$ mátrixszal, ha $\langle \mathbf{x}, \mathbf{x}' \rangle = 0$, azaz, ha \mathbf{x} és \mathbf{x}' ortogonálisak.

Egy \mathbf{y} vektorra ortogonális \mathbf{x} vektorok halmazát *\mathbf{y} perp-halmazának* hívom, és $C_{\mathbf{y}}$ -nal jelölöm. $C_{\mathbf{y}}$ a V_N -t \mathbb{Z}_2 -re képező $\mathbf{x} \mapsto \langle \mathbf{x}, \mathbf{y} \rangle$ lineáris függvény magtere, emiatt, nemnulla \mathbf{y} esetén, V_N -nek egy $2N - 1$ -dimenziós altere. $|C_{\mathbf{y}}|$ konkrét értékei megtalálhatók a C Függelékben.

3. Kvadratikus formák és kvadratikus felületek

Egy szimplektikus forma, például (2.12), a $Q : V_N \rightarrow \mathbb{Z}_2$ kvadratikus formához *asszociált bilineáris forma*, ha minden $\mathbf{x}, \mathbf{x}' \in V_N$ -re teljesül, hogy

$$\langle \mathbf{x}, \mathbf{x}' \rangle = Q(\mathbf{x}) + Q(\mathbf{x}') + Q(\mathbf{x} + \mathbf{x}'). \quad (3.1)$$

¹Emlékeztető: $-1 = +1 \pmod{2}$, vagyis \mathbb{Z}_2 -ben. Emiatt a ferde szimmetria is szimmetriára redukálódik.

Ha (3.1) teljesül Q -ra, akkor az alábbi kvadratikus formára is teljesül:

$$Q_{\mathbf{y}}(\mathbf{x}) = Q(\mathbf{x}) + \langle \mathbf{x}, \mathbf{y} \rangle^2, \quad \mathbf{y} \in V_N. \quad (3.2)$$

Mivel $\langle \mathbf{x}, \mathbf{y} \rangle \in \mathbb{Z}_2$, a négyzetreemelés elhagyható.

3.1. Lemma. *Az $\mathbf{y} \mapsto Q_{\mathbf{y}}$ leképezés egy bijekció V_N és a (3.1) tulajdonságot kielégítő kvadratikus formák halmaza között.*

Bizonyítás. Ha egy Q' kvadratikus formára (3.1) igaz,

$$Q(\mathbf{x} + \mathbf{x}') + Q'(\mathbf{x} + \mathbf{x}') = Q(\mathbf{x}) + Q'(\mathbf{x}) + Q(\mathbf{x}') + Q'(\mathbf{x}'). \quad (3.3)$$

Ez azt sugallja, hogy érdemes a

$$\varphi : V_N \rightarrow \mathbb{Z}_2, \quad \varphi(\mathbf{x}) = Q(\mathbf{x}) + Q'(\mathbf{x}), \quad (3.4)$$

vizsgálni, amely $Q \neq Q'$ esetén nemtriviális, és valamely nemnulla \mathbf{y} vektorra $\varphi(\mathbf{x}) = \langle \mathbf{x}, \mathbf{y} \rangle$. Ezt behelyettesítve a (3.4) formulába adódik, hogy $Q' = Q_{\mathbf{y}}$. Nyilvánvalóan, $Q' = Q$ a $\mathbf{0}$ nullvektor képe az $\mathbf{y} \mapsto Q_{\mathbf{y}}$ leképezés szerint. \square

A Q kvadratikus forma egy H kvadratikus felületet határoz meg, ami nem más, mint a $Q(\mathbf{x}) = 0$ egyenletet kielégítő \mathbf{x} vektorok halmaza. (3.1) átrendezésével és (3.2) alkalmazásával adódik, hogy

$$Q_{\mathbf{y}}(\mathbf{x}) = Q(\mathbf{y}) + Q(\mathbf{x} + \mathbf{y}). \quad (3.5)$$

Ebből következik, hogy a $Q_{\mathbf{y}}$ által meghatározott $H_{\mathbf{y}}$ kvadratikus felület így írható:

$$H_{\mathbf{y}} = \begin{cases} \mathbf{y} + H & \text{ha } \mathbf{y} \in H, \\ \overline{\mathbf{y} + H} & \text{ha } \mathbf{y} \notin H. \end{cases} \quad (3.6)$$

Itt \overline{S} az $S \subseteq V_N$ vektorhalmaz V_N -re vett komplementere, és

$$\mathbf{y} + S = \{\mathbf{y} + \mathbf{x} \mid \mathbf{x} \in S\}. \quad (3.7)$$

Az $S \mapsto \overline{S}$ és $S \mapsto \mathbf{y} + S$ függvények egymással felcserélhető involúciók, emellett

$$|\overline{S}| = 4^N - |S| \quad \text{és} \quad |\mathbf{y} + S| = |S|. \quad (3.8)$$

Mivel $Q(\mathbf{y}) = Q_{\mathbf{y}}(\mathbf{y})$, ami miatt $\mathbf{y} \in H \Leftrightarrow \mathbf{y} \in H_{\mathbf{y}}$, H kifejezhető úgy, hogy

$$H = \begin{cases} \mathbf{y} + H_{\mathbf{y}} & \text{ha } \mathbf{y} \in H_{\mathbf{y}}, \\ \overline{\mathbf{y} + H_{\mathbf{y}}} & \text{ha } \mathbf{y} \notin H_{\mathbf{y}}. \end{cases} \quad (3.9)$$

A 3.1. lemmából és a (3.6) és (3.8) formulákból következik, hogy számosság szerint osztályozva legfeljebb két típusú kvadratikus felület létezik. Az alábbiakban egy robusztusabb osztályozást fogalmazok meg, és ehhez felhasználom a maximális, páronként ortogonális vektorhalmazok, azaz a *Lagrange-altér*ek fogalmát. Végül ki fog derülni, hogy a két osztályozás ekvivalens.

Mindenekelőtt bevezetek néhány fogalmat. Jelölje W^\perp azoknak a vektoroknak az alterét, amelyek a W altér minden vektorára ortogonálisak:

$$W^\perp = \{\mathbf{x} \mid W \leq C_{\mathbf{x}}\}. \quad (3.10)$$

W *izotróp*, ha $W \subseteq W^\perp$, azaz ha a vektorai páronként ortogonálisak, és *Lagrange-altér*, ha $W^\perp = W$. A szimplektikus forma nemdegeneráltsága miatt

$$\dim W + \dim W^\perp = \dim V_N = 2N, \quad (3.11)$$

következésképpen minden Lagrange-altér N -dimenziós.

Tegyük fel, hogy H a Q kvadratikus forma által meghatározott kvadratikus felület, és $U \subseteq H$ egy Lagrange-altér. Legyen $\mathbf{y} \notin U$, és legyen φ az $\mathbf{x} \mapsto \langle \mathbf{x}, \mathbf{y} \rangle$ leképezés U -ra vett megszorítása. Mivel \mathbf{y} nemnulla és U maximális izotróp, φ nemtriviális, így a magtere,

$$\ker \varphi = U \cap C_{\mathbf{y}} \leq U, \quad (3.12)$$

egy $N - 1$ -dimenziós izotróp altér. Minden $\mathbf{x} \in U \setminus C_{\mathbf{y}}$ -ra (3.1) úgy alakul, hogy

$$Q(\mathbf{x} + \mathbf{y}) = \underbrace{Q(\mathbf{x})}_{=0} + Q(\mathbf{y}) + \underbrace{\langle \mathbf{x}, \mathbf{y} \rangle}_{=1} = 1 + Q(\mathbf{y}). \quad (3.13)$$

Ezért minden $\mathbf{y} \notin H$ -hoz tartozik 2^{N-1} darab $\mathbf{x} + \mathbf{y} \in H \setminus U$ vektor, és minden $\mathbf{y} \in H \setminus U$ -hoz tartozik 2^{N-1} darab $\mathbf{x} + \mathbf{y} \notin H$ vektor. Mivel $U \subseteq H \subseteq V_N$, ebből következik, hogy

$$\underbrace{|V_N| - |H|}_{=|V_N \setminus H|} = \underbrace{|H| - |U|}_{=|H \setminus U|}. \quad (3.14)$$

Átrendezve és behelyettesítve az ismert számosságokat adódik, hogy

$$|H| = \frac{1}{2}(|V_N| + |U|) = \frac{1}{2}(2^{2N} + 2^N) = 2^{N-1}(2^N + 1). \quad (3.15)$$

Tekintsük ismét a H kvadratikus formát és az $U \subseteq H$ Lagrange-altérét. Legyen $\mathbf{y} \in H$. Ha $\mathbf{y} \in U$, mivel $\mathbf{y} + U = U$, $U \subseteq H_{\mathbf{y}}$. Ha $\mathbf{y} \notin U$, az \mathbf{y} vektor és az $U \cap C_{\mathbf{y}}$ izotróp altér egy \mathbf{y} -t tartalmazó U' Lagrange-altérét feszít ki. Mint előbb,

$U' \subseteq H_{\mathbf{y}}$. Tehát, ha $\mathbf{y} \in H$, létezik $U' \subseteq H_{\mathbf{y}}$ Lagrange-altér. Az előző bekezdés eredményéből, de a (3.6) és (3.15) formulákból is következik, hogy

$$|H_{\mathbf{y}}| = 2^{N-1}(2^N + 1). \quad (3.16)$$

Továbbá, ha $\mathbf{z} \notin H$, egyetlen Lagrange-altér sem lehet $H_{\mathbf{z}}$ részhalmaza, mivel

$$|H_{\mathbf{z}}| = 2^{N-1}(2^N - 1). \quad (3.17)$$

Mindezekből az a következtetés vonható le, hogy *egy H kvadratikus felületnek valamely Lagrange-altér a részhalmaza akkor és csak akkor, ha $|H| = 2^{N-1}(2^N + 1)$. Ha az utóbbi igaz, a H kvadratikus felület hiperbolikus, különben elliptikus. A hiperbolikus, illetve az elliptikus felületeken lévő vektorok számát (3.16), illetve (3.17) adja meg. Konkrét értékek a C Függelékben találhatóak.*

Nem téveszthető szem elől, hogy a fenti megállapítás a H kvadratikus felület és az $U \subseteq H$ Lagrange-altér létezéséből következett. Többek közt a kételyek eloszlatása céljából is érdemes megvizsgálni egy olyan Q_0 kvadratikus formát, amely a Pauli-operátorok szimmetriájával van kapcsolatban [4].

Egy $(\mathbf{x}) \in \mathcal{P}_N/Z(\mathcal{P}_N)$ ekvivalenciaosztály négy, egyszerre szimmetrikus vagy antiszimmetrikus mátrixot tartalmaz. Mivel I , X és Z szimmetrikusak, és Y antiszimmetrikus, az (\mathbf{x}) -beli mátrixok szimmetriája attól függ, hogy a reprezentáns Pauli-operátor tenzorszorzat alakjában lévő Y -ok száma páros vagy páratlan. Ezért, ha az összeget modulo 2 összegként értelmezzük, i kitevője a (2.5) formulában a négy mátrix szimmetriáját tükrözi. A kitevő a (3.1) tulajdonságot kielégítő Q_0 kvadratikus formát határozza meg:

$$Q_0 : V_N \rightarrow \mathbb{Z}_2, \quad Q_0(\mathbf{x}) = \sum_{i=1}^N a_i b_i. \quad (3.18)$$

A fentiek értelmében az (\mathbf{x}) ekvivalenciaosztály akkor és csak akkor tartalmaz szimmetrikus mátrixokat, ha $Q_0(\mathbf{x}) = 0$.

A H_0 kvadratikus felület hiperbolikus, mivel tartalmazza az összes

$$\mathbf{x} = (a_1, \dots, a_N, 0, \dots, 0), \quad a_i \in \mathbb{Z}_2 \quad (3.19)$$

alakú vektort, és ezek egy $U \subseteq H_0$ Lagrange-altérre feszítenek ki. A vektorokhoz tartozó (\mathbf{x}) ekvivalenciaosztályok elemeinek az alakja:

$$sX^{a_1} \otimes \dots \otimes X^{a_N}, \quad s = \pm 1, \pm i. \quad (3.20)$$

Tehát, ha V_N szimplektikus formáját a \mathcal{P}_N -beli kommutációs relációk indukálják², $\mathcal{P}_N/Z(\mathcal{P}_N)$ szerkezete garantálja, hogy létezik olyan H kvadratikus felület, amelyhez létezik $U \subseteq H$ Lagrange-altér; ez a kvadratikus felületek osztályozásához kell. Hogy ez működjön, V_N és $\mathcal{P}_N/Z(\mathcal{P}_N)$ között alkalmas megfeleltetési szabályokra van szükség; a (2.5) és (2.7) formulák által leírt szabály ilyen.

4. Geometriák és geometriai hipersíkok

A pont-egyenes geometriák fogalmának az ismertetése előtt összefoglalok néhány halmazelméleti eredményt. Legyen X egy nemüres halmaz. Egy $A \subseteq X$ halmaz *karakterisztikus függvényét* úgy definiálom, hogy

$$\chi_A : X \rightarrow \mathbb{Z}_2, \quad \chi_A(x) = \begin{cases} 0 & \text{ha } x \in A, \\ 1 & \text{ha } x \notin A. \end{cases} \quad (4.1)$$

Például, a 3. szakaszban a Q kvadratikus forma a H felület karakterisztikus függvénye. Az X halmaz 2^X hatványhalmazán értelmezett halmazelméleti relációk és műveletek karakterisztikus függvényekkel az alábbi módon fejezhetők ki:

$$\overline{A} : \quad \chi_{\overline{A}} = 1 + \chi_A, \quad (4.2a)$$

$$A \cup B : \quad \chi_{A \cup B} = \chi_A \chi_B, \quad (4.2b)$$

$$A \cap B : \quad \chi_{A \cap B} = \chi_A + \chi_B + \chi_A \chi_B, \quad (4.2c)$$

$$A \triangle B : \quad \chi_{A \triangle B} = 1 + \chi_A + \chi_B, \quad (4.2d)$$

$$A \subseteq B : \quad \chi_A \chi_B = \chi_B. \quad (4.2e)$$

2^X -en értelmezhető egy újabb függvény, amit [8] szerzői *Veldkamp-összegnek* hívnak:

$$A * B = \overline{A \triangle B} \quad \chi_{A * B} = \chi_A + \chi_B. \quad (4.2f)$$

A második formulából látszik, hogy bármely $x \in X$ az A , B és $A * B$ halmazok közül vagy mind a háromban benne van, vagy pontosan az egyikben van benne. Ez X -nek egy felosztását határozza meg. Következésképpen, egyrészt,

$$A \cap B = A \cap (A * B) = B \cap (A * B) = A \cap B \cap (A * B), \quad (4.3)$$

másrészt pedig

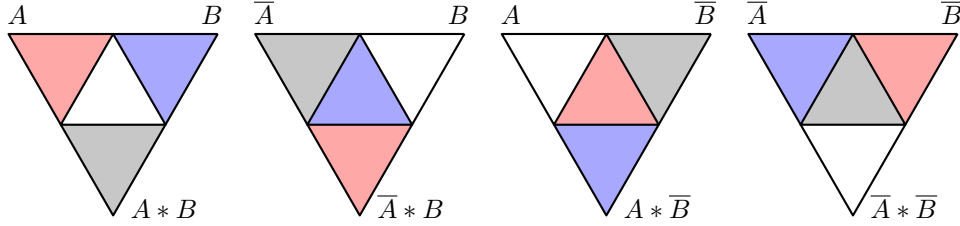
$$|A| + |B| + |A * B| = |X| + 2|A \cap B|. \quad (4.4)$$

²Lásd a 2. szakasz végét.

Ha $A, B \neq X$, $A \cap B \neq \emptyset$, és sem $A \subseteq B$, sem $B \subseteq A$ nem teljesül, a

$$A, B, A * B, \quad \bar{A}, B, \bar{A} * B, \quad A, \bar{B}, A * \bar{B}, \quad \bar{A}, \bar{B}, \bar{A} * \bar{B} \quad (4.5)$$

vektor-hármasok X -nek ugyanazt a felosztását adják. A három halmaz metszetét *magnak* nevezem. Például, az első hármas esetében a mag $A \cap B$. A 4.1. ábra a felosztást és az osztályok szerepét mutatja mindegyik esetre. A színek az osztályokat azonosítják, a középső háromszögek pedig a magokat reprezentálják.



4.1. ábra. X -nek a Veldkamp-összeggel kapcsolatos felosztása

A továbbiakban két, \mathbb{Z}_2 feletti, 2^X alaphalmazú vektorteret fogok vizsgálni. Az első $(2^X, \Delta)$; ebben a vektorösszeg a Δ szimmetrikus differencia, és \emptyset a nullvektor. A második $(2^X, *)$; ebben a vektorösszeg a $*$ Veldkamp-összeg, és X a nullvektor. Mi több, $A \mapsto \bar{A}$ egy bijektív lineáris leképezés a két vektortér között, ugyanis

$$\overline{A * B} = A \Delta B = \bar{A} \Delta \bar{B}. \quad (4.6)$$

Egy *pont-egyenes geometria*³ egy $\Gamma = (P, L, I)$ hármas, ahol P a *pontok halmaza*, L az *egyenesek halmaza* és $I \subseteq P \times L$ az *incidenciareláció*. Egy $p \in P$ pont és egy $l \in L$ egyenes *illeszkedését* pIl fejezi ki. Az l egyenessel illeszkedő pontok $I(l)$ halmaza az l *pont-árnyéka*⁴, és a p ponttal illeszkedő egyenesek $I(p)$ halmaza a p *egyenes-árnyéka*⁵, amit *sugársornak*⁶, is neveznek.

Egy pont-egyenes geometriában a következő axiómák teljesülnek:

1. *nincsenek kettőzött egyenesek*, azaz nincs két különböző l és k egyenes, amelyekre $I(l) = I(k)$. Emiatt minden l egyenes az $I(l)$ pont-árnyékával ekvivalens, és az L egyenesek halmaza 2^P részhalmazaként tekinthető. pIl tehát ugyanazt jelenti, mint $p \in l$.
2. minden $l \in L$ -re $|l| \geq 2$.

³Az angol nyelvű elnevezések: *point-line geometry* [10] és *line space* [1].

⁴Angol nyelvű elnevezés: *point-shadow*.

⁵Angol nyelvű elnevezés: *line-shadow*.

⁶Angol nyelvű elnevezés: *pencil of lines centered at p*.

Két vagy több pont *kollineáris*, ha valamely $l \in L$ egyenessel mind illeszkednek, és *páronként kollineárisak*, ha bármely kettő közülük kollineáris, de az összesükkel egyetlen $l \in L$ sem illeszkedik. Egy $p \in P$ -vel kollineáris pontok halmazát, amelyet esetenként p *perp-halmazának* is neveznek [8], p^\perp jelöli.

Az $A \subseteq P$ által kifeszített pont-egyenes geometria $\Gamma(A) = (A, L(A), \in)$, ahol

$$L(A) = \{l \cap A \mid l \in L, |l \cap A| \geq 2\}. \quad (4.7)$$

$\Gamma(A)$, vagy csak A , Γ -nak egy *altere*, ha $L(A) \subseteq P$, azaz, ha minden $l \in L$ -re $|l \cap A| \geq 2$ -ből következik, hogy $l \in L(A)$, és ennek megfelelően $l \subseteq A$. Γ -nak egy *H geometriai hipersíkja* egy (valódi) $H \neq P$ altere, amelyre minden $l \in L$ esetén igaz, hogy $l \cap H \neq \emptyset$. Vagyis minden $l \in L$ vagy egy pontban metszi H -t, vagy H -nak a részhalmaza.

Értelmezem az alábbi függvényt L -en:

$$\gamma_A : L \rightarrow \mathbb{Z}_2, \quad \gamma_A(l) = \begin{cases} 0 & \text{ha } l \text{ egy pontban metszi } A\text{-t vagy } l \subseteq A, \\ 1 & \text{egyébként.} \end{cases} \quad (4.8)$$

Szemléletesen, $\gamma_A(l) = 1$ azt jelenti, hogy l „útjában áll” A -nak, hogy az geometriai hipersík legyen. γ_A egy $\lambda(A)$ egyeneshalmaz karakterisztikus függvénye, ami egy

$$\lambda : 2^P \rightarrow 2^L, \quad \lambda(A) = \{l \in L \mid \gamma_A(l) = 0\} \quad (4.9)$$

leképezést definiál. Triviálisan, $\lambda(P) = L$ és $\lambda(\emptyset) = \emptyset$, és Γ minden H geometriai hipersíkjára $\lambda(H) = L$. Ha egy $A \neq P$ ponthalmazra és egy K egyeneshalmazra $K \subseteq \lambda(A)$ teljesül, A egy *geometriai hipersík* K -ra nézve.

Tegyük fel, hogy Γ minden egyenesével pontosan három pont illeszkedik, és ennek megfelelően az egyenesek $\{x, y, z\}$ alakúak. Ebben a speciális esetben γ_A úgy írható, hogy

$$\gamma_A(l) = \chi_A(x) + \chi_A(y) + \chi_A(z), \quad (4.10)$$

és könnyű belátni, hogy teljesülnek az alábbi relációk:

$$\lambda(\overline{A}) = \overline{\lambda(A)}, \quad (4.11a)$$

$$\lambda(A * B) = \lambda(A) * \lambda(B), \quad (4.11b)$$

$$\lambda(A \triangle B) = \lambda(A) \triangle \lambda(B). \quad (4.11c)$$

(4.11b), illetve (4.11c) alapján következik, hogy $\lambda : (2^P, *) \rightarrow (2^L, *)$, illetve $\lambda : (2^P, \triangle) \rightarrow (2^L, \triangle)$ lineáris leképezések. Az egyértelműség céljából az alábbi jelöléseket használom:

$$\ker_* \lambda = \{A \subseteq P \mid \lambda(A) = L\}, \quad \ker_\Delta \lambda = \{A \subseteq P \mid \lambda(A) = \emptyset\}. \quad (4.12)$$

λ képtere esetén ez a probléma nem merül fel:

$$\lambda(2^P) \leq (2^L, *) \quad \text{és} \quad \lambda(2^P) \leq (2^L, \Delta). \quad (4.13)$$

Mivel a $\{p\}$ egyelemű halmazok bázist alkotnak $(2^P, \Delta)$ -ban, az $I(p) = \lambda(\{p\})$ sugársorok halmaza $\lambda(2^P)$ bázisa $(2^L, \Delta)$ -ban. Emellett, az $A \mapsto \overline{A}$ leképezés bijektív és lineáris $(2^P, \Delta)$ és $(2^P, *)$ között, valamint $(2^L, \Delta)$ és $(2^L, *)$ között. Következik, hogy a $\overline{\{p\}}$ singleton-komplementerek halmaza $(2^P, *)$ bázisa, és az $\overline{I(p)}$ sugársor-komplementerek halmaza $\lambda(2^P)$ bázisa $(2^L, *)$ -ban.

5. Az N -qubit Pauli-csoport Veldkamp-tere

Mivel ebben a szakaszban csak speciális esetek lesznek érintve, a *Veldkamp-tér* fogalma a következőképpen definiálható⁷. Legyen \mathcal{H} egy $\Gamma = (P, L, I)$ pont-egyenes geometria geometriai hipersíkjainak a halmaza, és legyen \mathcal{H}_2 azoknak a $H_1 \cap H_2$, $H_1, H_2 \in \mathcal{H}$ metszeteknek a halmaza, amelyekre teljesül, hogy

$$H_1 \cap H_2 \subseteq H \Rightarrow H_1 \cap H_2 = H \cap H_1 = H \cap H_2, \quad \forall H \in \mathcal{H}. \quad (5.1)$$

Γ *Veldkamp-tere* a $(\mathcal{H}, \mathcal{H}_2, \supseteq)$ pont-egyenes geometria, és ennek a pontjait, illetve egyeneseit *Veldkamp-pontoknak*, illetve *Veldkamp-egyeneseknek* nevezik.

Feltételezem, hogy $H_1 \subseteq H_2$ semelyik $H_1, H_2 \in \mathcal{H}$ -ra sem teljesül, és minden $H_1 \cap H_2 \in \mathcal{H}_2$ metszetre és p pontra *egyértelműen* létezik $H \in \mathcal{H}$ úgy, hogy $p \in H$ és $H_1 \cap H_2 \subseteq H$. Így minden Veldkamp-egyenes P -nek egy felosztását határozza meg, amelynek $H_1 \cap H_2$ egy osztálya. Az utóbbit *magnak* nevezem.

Ha $\mathcal{V} = \mathcal{H} \cup \{P\}$ zárt a $*$ Veldkamp-összegre, a Veldkamp-egyenesek halmaza egybeesik a $(\mathcal{V}, *)$ vektortér projektív egyenesének a halmazával. Ez azt jelenti, hogy minden $H_1, H_2 \in \mathcal{H}$ -ra létezik egy Veldkamp-egyenes

$$\{H_1, H_2, H_1 * H_2\} \quad (5.2)$$

pont-árnyékkal, és más Veldkamp-egyenesek nincsenek.

Ezek után legyen $\mathcal{G}_N = (P, L, \in)$ az a pont-egyenes geometria, amelynek a pontjai, illetve az egyenesei V_N nemnulla vektorai, illetve projektív egyenesei. Az utóbbiak

$$l = \{\mathbf{x}, \mathbf{x}', \mathbf{x} + \mathbf{x}'\}, \quad \mathbf{x} \neq \mathbf{x}', \quad \mathbf{x}, \mathbf{x}' \in V_N \setminus \{\mathbf{o}\} \quad (5.3)$$

⁷Az Olvasó a teljes elméletet, az itteni feltételezések szükséges feltételeivel együtt, megtalálja az [1] vagy [10] műben. Ahogy [8] szerzői is kiemelik, [1] definíciói [10] definícióinál kevésbé korlátozók.

alakú halmazok. Mivel V_N -ből, és ennek megfelelően a \mathcal{P}_N N -qubit Pauli-csoportból bukkan elő, \mathcal{G}_N -t \mathcal{P}_N *pont-egyenes geometriájának* hívom.

Mivel három kollineáris vektor páronként ortogonális vagy páronként nemortogonális, *izotróp* és *hiperbólikus* egyenesek különböztethetők meg. Például, a fenti l egyenes $\langle \mathbf{x}, \mathbf{x}' \rangle = 0$ esetén izotróp, különben hiperbólikus. Az izotróp, illetve hiperbólikus egyenesek halmazát jelölje L_{iso} , illetve L_{hyp} . Természetesen, $L_{\text{hyp}} = \overline{L_{\text{iso}}}$, és ez fordítva is igaz.

Tekintsük a

$$\{\emptyset, L_{\text{iso}}, L_{\text{hyp}}, L\} \leq (2^L, *) \quad (5.4)$$

lineáris altér ösképlet:

$$\mathcal{V} = \lambda^{-1} \{\emptyset, L_{\text{iso}}, L_{\text{hyp}}, L\} \leq (2^P, *), \quad (5.5)$$

ahol λ a (4.9) formulával definiált leképezés. Mivel \mathcal{V} zárt $*$ -ra, felépíthető belőle egy \mathcal{V}_N pont-egyenes geometria, amelynek a ponthalmaza $\mathcal{V} \setminus \{P\}$, és az egyenesei $(\mathcal{V}, *)$ projektív egyenesei. Annak ellenére, hogy az így kapott \mathcal{V}_N -nek csak bizonyos pontjai geometriai hipersíkjai \mathcal{G}_N -nek, a tömörség kedvéért⁸ \mathcal{V}_N -t \mathcal{P}_N *Veldkamp-terének*, egyeneseit pedig \mathcal{P}_N *Veldkamp-egyeneseknek* fogom hívni.

Leghamarabb a \mathcal{V} -beli ponthalmazokat határozom meg. Először is, egy $\lambda(A) = L$ -et teljesítő $A \in \mathcal{V}$ halmaz χ_A karakterisztikus függvényére igaz, hogy

$$\chi_A(\mathbf{x}) + \chi_A(\mathbf{x}') + \chi_A(\mathbf{x} + \mathbf{x}') = 0, \quad \mathbf{x}, \mathbf{x}' \in P = V_N \setminus \{\mathbf{o}\}. \quad (5.6)$$

Ebből látszik, hogy χ_A egy lineáris leképezés, és emiatt valamely⁹ $\mathbf{y} \in V_N$ -re

$$\chi_A(\mathbf{x}) = \langle \mathbf{x}, \mathbf{y} \rangle. \quad (5.7)$$

Következésképpen, $A = C_{\mathbf{y}}$. Másodszor, ha $\lambda(A) = L_{\text{iso}}$,

$$\chi_A(\mathbf{x}) + \chi_A(\mathbf{x}') + \chi_A(\mathbf{x} + \mathbf{x}') = \langle \mathbf{x}, \mathbf{x}' \rangle, \quad \mathbf{x}, \mathbf{x}' \in P. \quad (5.8)$$

\mathbf{x}' helyébe \mathbf{x} -et helyettesítve adódik, hogy $\chi_A(\mathbf{o}) = 0$. Így χ_A egy, a (3.1) összefüggést kielégítő kvadratikus forma, és A az általa megadott kvadratikus felület. Harmadszor, (4.11a) alapján, ha $\lambda(A) = L_{\text{hyp}}$, valamely H kvadratikus felületre $A = \overline{H}$. Végül, szintén (4.11a) alapján, ha $\lambda(A) = \emptyset$, valamely $\mathbf{y} \in V_N$ -re $A = \overline{C_{\mathbf{y}}}$. Mivel ezeknek az állításoknak a fordítottja is igaz, $\lambda^{-1}(L)$, $\lambda^{-1}(L_{\text{iso}})$, $\lambda^{-1}(L_{\text{hyp}})$, illetve $\lambda^{-1}(\emptyset)$ a *perp-halmazok halmazával*, a *kvadratikus felületek halmazával*, a *kvadratikusfelület-komplementerek halmazával*, illetve a *perp-halmaz-komplementerek halmazával* esik egybe.

⁸A hasonlóságok ellenére ez a definíció *jelentősen* eltér a Veldkamp-tereknek és a Veldkamp-egyeneseknek [1] és [10] művekben található definíciójától.

⁹Vegyük észre, hogy $\mathbf{y} = \mathbf{o}$ *lehetséges*, mivel \mathbf{y} most nem \mathcal{G}_N pontjaként szerepel.

Ezután \mathcal{P}_N Veldkamp-egyeneseit határozom meg. Mivel ezek $(\mathcal{V}, *)$ projektív egyenesei, és (5.2) alakúak, ehhez elég lesz a \mathcal{V} -beli $*$ vektorösszeadás szabályait lefektetni. (4.2f) és a szimplektikus forma bilinearitása alapján¹⁰,

$$C_{\mathbf{x}} * C_{\mathbf{y}} = C_{\mathbf{x}+\mathbf{y}}. \quad (5.9)$$

Hasonlóképpen, (3.2) és (4.2f) összehasonlításából,

$$H_{\mathbf{o}} * C_{\mathbf{y}} = H_{\mathbf{y}}. \quad (5.10)$$

$H_{\mathbf{o}}$ egy önkényesen kiválasztott kvadratikus felület, például az, amelyet a Pauli-operátorok szimmetriája definiál (3. szakasz). Így a $*$ -ra vonatkozó szabályok:

$$\begin{aligned} C_{\mathbf{x}} * C_{\mathbf{y}} = H_{\mathbf{x}} * H_{\mathbf{y}} = \overline{C}_{\mathbf{x}} * \overline{C}_{\mathbf{y}} = \overline{H}_{\mathbf{x}} * \overline{H}_{\mathbf{y}} = C_{\mathbf{x}+\mathbf{y}}, \\ C_{\mathbf{x}} * \overline{C}_{\mathbf{y}} = H_{\mathbf{x}} * \overline{H}_{\mathbf{y}} = \overline{C}_{\mathbf{x}+\mathbf{y}}. \end{aligned} \quad (5.11)$$

Ebből látszik, hogy $\lambda^{-1}(L_{\text{iso}})$, $\lambda^{-1}(L_{\text{hyp}})$ és $\lambda^{-1}(\emptyset)$ a

$$\ker_* \lambda = \lambda^{-1}(L) \quad (5.12)$$

altér három mellékosztálya \mathcal{V} -ben. Aszerint, hogy hogyan metszik ezt a négy halmazt, a Veldkamp-egyenések öt típusba sorolhatók, és ezek reprezentánsai

$$\begin{aligned} \{C_{\mathbf{x}}, C_{\mathbf{y}}, C_{\mathbf{x}+\mathbf{y}}\}, \quad \{H_{\mathbf{x}}, H_{\mathbf{y}}, C_{\mathbf{x}+\mathbf{y}}\}, \quad \{H_{\mathbf{x}}, \overline{H}_{\mathbf{y}}, \overline{C}_{\mathbf{x}+\mathbf{y}}\}, \\ \{\overline{C}_{\mathbf{x}}, \overline{C}_{\mathbf{y}}, C_{\mathbf{x}+\mathbf{y}}\}, \quad \{\overline{H}_{\mathbf{x}}, \overline{H}_{\mathbf{y}}, C_{\mathbf{x}+\mathbf{y}}\} \end{aligned} \quad (5.13)$$

alakúak. $\lambda^{-1}(L_{\text{iso}})$ és $\lambda^{-1}(L_{\text{hyp}})$ a kvadratikus felületek típusa szerint tovább bontható (3. szakasz), és a kvadratikus felületeket is tartalmazó Veldkamp-egyenések altípusokba sorolhatók. A későbbiekben részletesen tárgyalt altípusok:

$$\{H_{\mathbf{x}}^+, H_{\mathbf{y}}^+, C_{\mathbf{x}+\mathbf{y}}\}, \quad \{H_{\mathbf{x}}^-, H_{\mathbf{y}}^-, C_{\mathbf{x}+\mathbf{y}}\}, \quad \{H_{\mathbf{x}}^+, H_{\mathbf{y}}^-, C_{\mathbf{x}+\mathbf{y}}\}. \quad (5.14)$$

Néhány egyszerű, a $\mathcal{V} \setminus \{P\}$ elemei közt fennálló metszési viszonyokkal kapcsolatos tény megkapható a (4.4) és (5.11) formulákból. Például, a (4.4) formulát a $H_{\mathbf{x}} * H_{\mathbf{y}} = C_{\mathbf{x}+\mathbf{y}}$ összefüggésre alkalmazva adódik, hogy

$$|H_{\mathbf{x}}| + |H_{\mathbf{y}}| + |C_{\mathbf{x}+\mathbf{y}}| = |V_N| + 2|H_{\mathbf{x}} \cap H_{\mathbf{y}}|. \quad (5.15)$$

Már láttuk, hogy ha $\mathbf{x} \neq \mathbf{y}$,

$$|C_{\mathbf{x}+\mathbf{y}}| = \frac{1}{2}|V_N| = 2^{N-1}2^N. \quad (5.16a)$$

¹⁰Az (5.9) formulából látszik, hogy az $\mathbf{x} \mapsto C_{\mathbf{x}}$ leképezés egy $V_N \hookrightarrow \mathcal{V}$ beágyazás.

(3.16) és (3.17) alapján H_x és H_y elemszáma úgy írható, hogy

$$|H_x| = 2^{N-1}(2^N + \alpha) = \frac{2^N + \alpha}{2^N} |C_{x+y}|, \quad (5.16b)$$

$$|H_y| = 2^{N-1}(2^N + \beta) = \frac{2^N + \beta}{2^N} |C_{x+y}|, \quad (5.16c)$$

ahol $\alpha, \beta = \pm 1$. Ezeket az (5.15) formulába helyettesítve adódik, hogy

$$\begin{aligned} |H_x \cap C_{x+y}| &= |H_x \cap H_y| = \frac{1}{2} \frac{2^N + \alpha + \beta}{2^N} |C_{x+y}| \\ &= \frac{1}{2} \frac{2^N + \alpha + \beta}{2^N + \alpha} |H_x|. \end{aligned} \quad (5.17)$$

Az első egyenlőség (4.3) következménye. Vegyük észre, hogy

1. $|C_{x+y}|$ együtthatója akkor és csak akkor 1, ha $N = 1$ és $\alpha = \beta = 1$;
2. $|H_x|$ együtthatója akkor és csak akkor 1, ha $N = 1$ és $\beta = -\alpha = 1$;
3. $|C_{x+y}|$ együtthatója akkor és csak akkor 0, ha $N = 1$ és $\alpha = \beta = -1$.

Ezek az alábbi módon értelmezhetők:

1. $C_{x+y} \subseteq H_x$ akkor és csak akkor, ha $N = 1$, H_x hiperbólikus és $\mathbf{y} \in H_x$.
2. $H_x \subseteq H_y$ akkor és csak akkor, ha $N = 1$ és H_x elliptikus. $H_x \subseteq C_{x+y}$ -ra ugyanez a feltétel érvényes. H_y szükségszerűen hiperbólikus, mivel $\mathbf{x} \neq \mathbf{y}$, és $N = 1$ esetén csak egy elliptikus kvadratikus felület létezik.
3. Az (5.17) formulában a két metszet akkor és csak akkor üres, ha $N = 1$, és H_x és H_y is elliptikusak. A fenti okok miatt az utóbbi lehetetlen.

A maradék metszési viszony ezekből azonnal következik. Végül azt lehet mondani, hogy, az $N = 1$ elfajult eset kivételével, $\mathcal{V} \setminus \{P\}$ -nek két különböző H_1 és H_2 eleme mindig metszi egymást, és H_1 soha nem részhalmaza H_2 -nek.

A 4. szakasz végén érintve volt, hogy $\lambda(2^P)$ nem a teljes 2^L . Ez az állítás \mathcal{G}_N -re tovább pontosítható: bármely $A \subseteq P$ -re $\lambda(A)$

$$L_{\text{iso}} \subset \lambda(A) \subset L \quad \text{és} \quad L_{\text{hyp}} \subset \lambda(A) \subset L \quad (5.18)$$

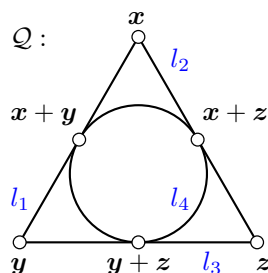
közüli egyiket sem teljesíti. Ez a [11] munkában bizonyított, azonban most egy általánosabb eredményből következtetem, mégpedig abból, hogy

5.1. Tétel. Ha γ_A rögzített L_{iso} -n, $\gamma_A(l)$ legfeljebb egy $l \in L_{\text{hyp}}$ -re választható meg szabadon, és ugyanez L_{iso} -t és L_{hyp} -et felcserélve is igaz.

Az 5.1. tétel bizonyítása felhasználja Pasch axiómáját, amely $N \geq 2$ esetén teljesül \mathcal{G}_N -ben, és amely miatt bármely három \mathbf{x} , \mathbf{y} és \mathbf{z} lineárisan független vektor egy \mathcal{Q} teljes négyoldalt vagy Pasch-konfigurációt feszít ki (5.1. ábra). Az \mathbf{x} , \mathbf{y} és \mathbf{z} vektorok páronként kollineárisak, és rajtuk kívül még három, páronként kollineáris vektor-hármas található \mathcal{Q} -ban:

$$\mathbf{x}, \mathbf{x} + \mathbf{y}, \mathbf{x} + \mathbf{z}, \quad \mathbf{y}, \mathbf{x} + \mathbf{y}, \mathbf{y} + \mathbf{z} \quad \mathbf{z}, \mathbf{x} + \mathbf{z}, \mathbf{y} + \mathbf{z}. \quad (5.19)$$

Ez a négy pont-hármas \mathcal{Q} -ban ekvivalens, és bármelyikük \mathcal{Q} -t feszíti ki.



5.1. ábra. Az x , y és z által kifeszített \mathcal{G}_N -beli Pasch-konfiguráció

A Pasch-konfigurációkból adódó \mathcal{G}_N -beli megszorítások a következők. Egy \mathcal{Q} Pasch-konfiguráció l_1, \dots, l_4 egyenesekre igaz, hogy

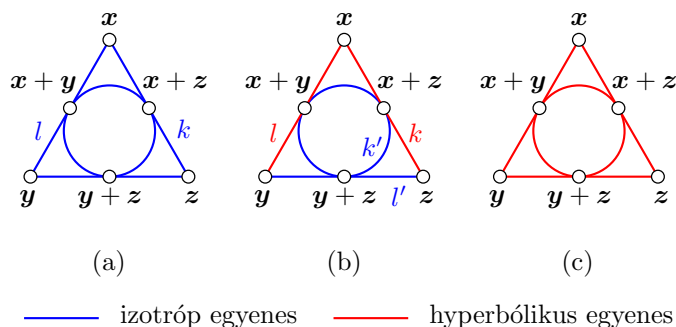
$$\sum_{i=1}^4 \gamma_A(l_i) = 0, \quad A \subseteq P, \quad (5.20)$$

mivel \mathcal{Q} minden \mathbf{p} pontja két egyenesre illeszkedik, és így minden $\chi_A(\mathbf{p})$ kétszer szerepel a szummában; lásd (4.10). Egy másik fontos kérdés az izotróp és hiperbólikus egyenesek \mathcal{Q} -beli eloszlása. A három lehetséges esetet az 5.2. ábra mutatja.

Legyen két izotróp (hiperbólikus) egyenes, l és k , *szomszédos*, és fejezze ezt ki $l \sim k$, ha l és k olyan \mathcal{Q} Pasch-konfiguráció egyenesei, amelynek a másik két egyenes hiperbólikus (izotróp). Például, az 5.2 (b) ábrán $l \sim k$ és $l' \sim k'$. l és k *kapcsolódnak*, ha létezik izotróp (hiperbólikus) egyenesekből álló

$$l = l_0, l_1, \dots, l_n = k \quad (5.21)$$

sorozat úgy, hogy $l_{i-1} \sim l_i$, $i = 1, \dots, n$. Kissé visszaélve a jelöléssel, ugyancsak $l \sim k$ -val fejezem ki azt is, hogy l és k kapcsolódnak. Triviális, hogy \sim egy tranzitív reláció L -en.



5.2. ábra. Izotróp és hiperbólikus egyenesek Pasch-konfigurációkban

Legyen valamely $l \in L_{\text{hyp}}$ -re γ_A rögzített az $\{l\} \cup L_{\text{iso}}$ halmazon, és legyen $l \sim k \in L_{\text{hyp}}$. Az (5.20) formulát alkalmazva arra a Pasch-konfigurációra, amely miatt az (5.21) formulában $l = l_0$ és l_1 szomszédosak, adódik, hogy $\gamma_A(l_1)$ rögzített. Ez $\gamma_A(l_2)$ -re is megismételhető, és így tovább, egészen $\gamma_A(l_n = k)$ -ig. Levonható az a következtetés, hogy minden $k \sim l$ -re $\gamma_A(k)$ rögzített. Az érvelés L_{iso} és L_{hyp} felcserélése után is érvényes. Ezért, az 5.1. tétel bizonyításához elég annyit megmutatni, hogy bármely két izotróp (hiperbólikus) egyenes kapcsolódik.

5.2. Lemma. *Bármely két különböző, de egy közös ponttal illeszkedő izotróp (hiperbólikus) egyenes kapcsolódik.*

Bizonyítás. Legyen a két egyenes l és k , és legyen $\mathbf{x} \in l \cap k$. Ha l és k hiperbólikusak, a szimplektikus forma bilinearitása miatt létezik $\mathbf{y} \in l$ és $\mathbf{z} \in k$ úgy, hogy $\langle \mathbf{y}, \mathbf{z} \rangle = 0$. Ekkor \mathbf{x} , \mathbf{y} és \mathbf{z} egy olyan Pasch-konfigurációt feszítenek ki, amilyen az 5.2 (b) ábrán is látható. Következésképpen, $l \sim k$.

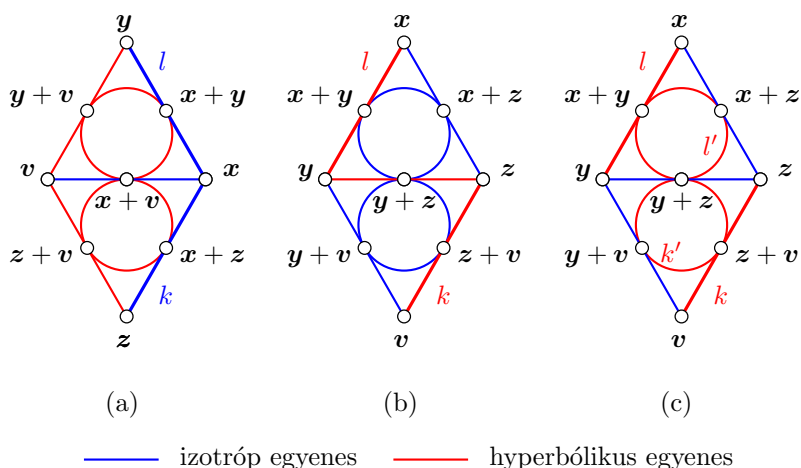
A két izotróp egyenes esete csak akkor problémásabb, ha $N \geq 3$, és minden $\mathbf{y} \in l$ -re és $\mathbf{z} \in k$ -ra $\langle \mathbf{y}, \mathbf{z} \rangle = 0$. Ekkor \mathbf{x} és bármely $\mathbf{y} \in l \setminus \{\mathbf{x}\}$ és $\mathbf{z} \in k \setminus \{\mathbf{x}\}$ az 5.2 (a) ábrán látható Pasch-konfigurációt feszítik ki, amelynek a pontjai páronként ortogonálisak.

Mivel $C_{\mathbf{x}} \cap C_{\mathbf{y}}$ és $C_{\mathbf{x}} \cap C_{\mathbf{z}}$ a $2N - 1$ -dimenziós $C_{\mathbf{x}}$ altérnek $2N - 2$ -dimenziós alterei, $C_{\mathbf{x}} \cap C_{\mathbf{y}} \cap C_{\mathbf{z}}$ dimenziószáma $2N - 3$, és emiatt három mellékosztálya van $C_{\mathbf{x}}$ -ben. Ezen mellékosztályok valamelyike nem metszi sem $C_{\mathbf{y}}$ -t, sem $C_{\mathbf{z}}$ -t, így a belőle választott \mathbf{v} vektor teljesíti azt, hogy

$$\langle \mathbf{y}, \mathbf{v} \rangle = \langle \mathbf{z}, \mathbf{v} \rangle = 1 \quad \text{és} \quad \langle \mathbf{x}, \mathbf{v} \rangle = 0. \quad (5.22)$$

Kapjuk, hogy $l \sim \{\mathbf{x}, \mathbf{v}, \mathbf{x} + \mathbf{v}\} \sim k$; lásd 5.3 (a) ábra. \square

Namármost, ha l és k diszjunkt izotróp egyenesek, azaz nem illeszkednek egy közös ponttal, a szimplektikus forma bilinearitása miatt minden $\mathbf{x} \in l$ -re létezik $\mathbf{y} \in k$ úgy, hogy $\langle \mathbf{x}, \mathbf{y} \rangle = 0$. Ekkor, az 5.2. lemma alapján, $l \sim \{\mathbf{x}, \mathbf{y}, \mathbf{x} + \mathbf{y}\} \sim k$.



5.3. ábra. Kapcsolódó egyenesek speciális esetei

Ha l és k diszjunkt hiperbólikus egyenesek, két lehetőség állhat fenn. Ha valamely $\mathbf{y} \in l$ -re és $\mathbf{z} \in k$ -ra $\langle \mathbf{y}, \mathbf{z} \rangle = 1$, az 5.2. lemma alapján $l \sim \{\mathbf{y}, \mathbf{z}, \mathbf{y} + \mathbf{z}\} \sim k$; lásd 5.3 (b) ábra. Az ellenkező eset az 5.3 (c) ábrán látható, ahol $l \sim l' \sim k' \sim k$.

Ezzel az 5.1. tétel bizonyítása véget is ért, mivel az elkerült \mathcal{G}_1 -nek csupán egyetlen hiperbólikus egyenese van.

6. A Pauli-csoport szimplektikus struktúrája egy másik szemszögből

A 2. szakaszban láttuk, hogy a \mathbb{Z}_2 feletti $2N$ -dimenziós V_N szimplektikus vektortér az N -qubit Pauli-csoport sok tulajdonságát képes megragadni. Mostantól az $\mathbf{x} \in \mathbb{Z}_2^{2N}$ vektorok a $[2N] = \{1, 2, \dots, 2N\}$ halmaz részhalmazaiként lesznek kezelve, és $i \in \mathbf{x}$ azt fogja jelenteni, hogy \mathbf{x} -nek az i -edik komponense, x_i , egyenlő 1-el. Így az $\mathbf{x} \cup \mathbf{y}$ uniót, az $\mathbf{x} \cap \mathbf{y}$ metszetet, az $\mathbf{x} \setminus \mathbf{y}$ különbséget, az $\mathbf{x} + \mathbf{y}$ szimmetrikus differenciát és a $[2N]$ halmazra vett \mathbf{x}^c komplementert minden $\mathbf{x}, \mathbf{y} \in \mathbb{Z}_2^{2N}$ -re a szokásos, halmazelméleti módon kell érteni. Vegyük észre, hogy a szimmetrikus differencia egyben a \mathbb{Z}_2^{2N} -beli vektorösszeadás.

Amennyiben nem okoz zavart, érdemes az

$$ij\dots k \equiv \{i, j, \dots, k\} \subseteq [2N] \quad (6.1)$$

rövidített jelölést használni. Ha hangsúlyozni kell, hogy a csupa 1 komponensű vektorról van szó, $[2N]$ helyett $\mathbf{1}_N$ -et írok, és ha a szövegkörnyezet alapján N

egyértelmű, az alsó indexet elhagyom. Nyilvánvaló, hogy minden $\mathbf{x} \in \mathbb{Z}_2^{2N}$ komplementere kifejezhető úgy, hogy

$$\mathbf{x}^c = \mathbf{1} + \mathbf{x}. \quad (6.2)$$

$[2N]$ részhalmazaként tekintve minden $\mathbf{x} \in \mathbb{Z}_2^{2N}$ vektornak van egy $|\mathbf{x}|$ -el jelölt „mérete”, ami éppen a nemnulla komponensek száma. Például, $|ijk| = 3$. A

$$|\cdot| : \mathbb{Z}_2^{2N} \rightarrow \mathbb{N} \subseteq \mathbb{R} \quad (6.3)$$

leképezés egy \mathbb{Z}_2^{2N} -n értelmezett norma¹¹ és egy $[2N]$ -en értelmezett mérték. A mértékelméletből ismert, hogy

$$|\mathbf{x} + \mathbf{y}| = |\mathbf{x}| + |\mathbf{y}| - 2|\mathbf{x} \cap \mathbf{y}|. \quad (6.4)$$

A 2. szakaszban ismertetett, és a [4, 5] munkákban is átvett, megközelítés és a hamarosan bemutatásra kerülő megközelítés közötti különbségek abból erednek, hogy \mathbb{Z}_2^{2N} -t most, (2.12) helyett, a

$$\langle \cdot, \cdot \rangle : \mathbb{Z}_2^{2N} \times \mathbb{Z}_2^{2N} \rightarrow \mathbb{Z}_2, \quad \langle \mathbf{x}, \mathbf{y} \rangle = |\mathbf{x}||\mathbf{y}| + |\mathbf{x} \cap \mathbf{y}| \pmod{2} \quad (6.5)$$

leképezéssel látom el. Ez a formula [7]-ben is szerepel. Az utolsó tag egyenlő azzal, hogy $\mathbf{x} \cdot \mathbf{y} = \sum_{i=1}^{2N} x_i y_i$, ami az \mathbb{R}^{2N} -en értelmezett „szokásos” skalárszorzat. Következik, hogy

$$f : \mathbb{Z}_2^{2N} \times \mathbb{Z}_2^{2N} \rightarrow \mathbb{Z}_2, \quad f(\mathbf{x}, \mathbf{y}) = |\mathbf{x} \cap \mathbf{y}| \pmod{2} \quad (6.6)$$

egy szimmetrikus bilineáris forma. (6.4) alapján ugyanez igaz a

$$g : \mathbb{Z}_2^{2N} \times \mathbb{Z}_2^{2N} \rightarrow \mathbb{Z}_2, \quad g(\mathbf{x}, \mathbf{y}) = |\mathbf{x}||\mathbf{y}| \pmod{2} \quad (6.7)$$

leképezésre is. Tehát $\langle \cdot, \cdot \rangle$ szimmetrikus és bilineáris. A (6.5) formulából triviálisan következik, hogy $\langle \mathbf{x}, \mathbf{x} \rangle = 0$. Ha \mathbf{x} nemnulla, páros $|\mathbf{x}|$ esetében választható $i \in \mathbf{x}$, és páratlan $|\mathbf{x}|$ esetében választható $i \notin \mathbf{x}$ úgy, hogy $\langle i, \mathbf{x} \rangle = 1$ teljesüljön. Emiatt $\langle \cdot, \cdot \rangle$ nemdegenerált¹². Összegezve: $\langle \cdot, \cdot \rangle$ *szimplektikus forma*.

Megjegyzendő, hogy a (6.5) szimplektikus formával ellátott \mathbb{Z}_2^{2N} -nek *ugyanaz* a szimplektikus struktúrája, mint a (2.12) formával ellátott \mathbb{Z}_2^{2N} -é, mivel a (6.5) és (2.12) közti választás csupán egy bázisválasztással ekvivalens. (6.5) fontos előnye,

¹¹A $|\cdot|$ norma által indukált távolság a kódoláselméletben jól ismert $d_H(\mathbf{x}, \mathbf{y}) = |\mathbf{x} - \mathbf{y}|$ *Hamming-távolság*.

¹²Fontos, hogy $\langle \cdot, \cdot \rangle$ nemdegeneráltsága megköveteli, hogy V_N páros dimenziós legyen, különben $|\mathbf{1}|$ páratlan, és ekkor nem létezik $i \notin \mathbf{1}$.

hogy V_N kanonikus bázisvektorai, amelyek most szingletonokként vannak tekintve, ekvivalensek. Hadd fejtsem ki. A „régí”, (2.12) szimplektikus formával V_N kanonikus bázisa úgy írható, hogy

$$\{\mathbf{e}_1, \dots, \mathbf{e}_N, \mathbf{f}_1, \dots, \mathbf{f}_N\}, \quad (6.8)$$

ahol a bázisvektorokra teljesül, hogy

$$\langle \mathbf{e}_i, \mathbf{e}_j \rangle = \langle \mathbf{f}_i, \mathbf{f}_j \rangle = 0 \quad \text{és} \quad \langle \mathbf{e}_i, \mathbf{f}_j \rangle = \delta_{ij}, \quad i, j = 1, \dots, N. \quad (6.9)$$

Más szavakkal, a (2.12) formával a kanonikus bázis egy *szimplektikus bázis*. Lásd még a (2.7) formulában a vektorkomponensek megkülönböztető jelöléseit. A fentiekkel ellentétben, a (6.5) formával a kanonikus bázisnak, amely most úgy ítható, hogy

$$\{\{1\}, \{2\}, \dots, \{2N\}\}, \quad (6.10)$$

nincsenek megkülönböztetett részhalmazai, és a bázisvektorok az egységes

$$\langle i, j \rangle = 1 - \delta_{ij}, \quad i, j = 1, \dots, 2N \quad (6.11)$$

tulajdonságot elégtik ki.

Shaw [9] munkáját követve, V_N -nek egy bázisa *off-diagonális*¹³, ha a bázisvektorok a kanonikus bázisvektorokhoz hasonlóan páronként nemortogonálisak. A (6.5) szimplektikus forma kanonikus bázisra vett \mathbf{J} mátrixa egyértelművé teszi az elnevezés mögötti motivációt:

$$\mathbf{J} = \begin{bmatrix} 0 & 1 & \cdots & 1 \\ 1 & 0 & \cdots & 1 \\ \vdots & \vdots & \ddots & \vdots \\ 1 & 1 & \cdots & 0 \end{bmatrix} \in \mathbb{Z}_2^{2N \times 2N}, \quad J_{ij} = \langle i, j \rangle = 1 - \delta_{ij}. \quad (6.12)$$

(6.8) alapján, a (2.12) szimplektikus forma mátrixa

$$\mathbf{J}' = \begin{bmatrix} & I_N \\ I_N & \end{bmatrix} \in \mathbb{Z}_2^{2N \times 2N}, \quad (6.13)$$

ahol I_N az $N \times N$ -es egységmátrix. Azonnal következik, hogy a bázisvektorokat permutáló permutációs mátrixok közül nem mindegyik őrzi a (2.12) szimplektikus formát. Ezzel szemben, a (6.5) formát mindegyik permutációs mátrix őrzi. Erről a 8. szakaszban bővebben lesz szó.

¹³Angol nyelvű elnevezés: *off-diagonal*.

\mathbf{J} segítségével a (6.5) szimplektikus forma úgy fejezhető ki, hogy

$$\langle \mathbf{x}, \mathbf{y} \rangle = |\mathbf{x} \cap \mathbf{J}\mathbf{y}| = |\mathbf{J}\mathbf{x} \cap \mathbf{y}| \pmod{2}. \quad (6.14)$$

\mathbf{J} minden i kanonikus bázisvektort az i^c komplementerére képez, ezért

$$\mathbf{J}\mathbf{x} = \sum_{i \in \mathbf{x}} (i + \mathbf{1}) = \mathbf{x} + |\mathbf{x}|\mathbf{1} = \begin{cases} \mathbf{x} & \text{ha } |\mathbf{x}| \text{ páros,} \\ \mathbf{x}^c & \text{ha } |\mathbf{x}| \text{ páratlan.} \end{cases} \quad (6.15)$$

Mivel $|\mathbf{x}^c|$ és $|\mathbf{x}|$ paritása megegyezik, egyrészt \mathbf{J} egy involúció:

$$\mathbf{J}^{-1} = \mathbf{J}, \quad (6.16)$$

másrészt pedig a \mathbf{J} és $(\cdot)^c$ leképezések felcserélhetők:

$$(\mathbf{J}\mathbf{x})^c = \mathbf{J}\mathbf{x}^c = \begin{cases} \mathbf{x}^c & \text{ha } |\mathbf{x}| \text{ páros,} \\ \mathbf{x} & \text{ha } |\mathbf{x}| \text{ páratlan.} \end{cases} \quad (6.17)$$

Ahhoz, hogy a (6.5) szimplektikus formát a $\mathcal{P}_N/Z(\mathcal{P}_N)$ -beli kommutációs relációk indukálják a 2. szakasz végén részletezett módon, V_N páronként nemortogonális kanonikus bázisvektoraihoz $\mathcal{P}_N/Z(\mathcal{P}_N)$ olyan ekvivalenciaosztályait kell rendelni, amelyeket *páronként antikommutáló* N -qubit Pauli-operátorok adnak meg. Ezzel lemondunk a V_N és $\mathcal{P}_N/Z(\mathcal{P}_N)$ közötti, (2.5) és (2.7) által leírt intim megfeleltetési szabályról. Egy több szempontból is kényelmes megfeleltetési szabály a következő:

$$\begin{aligned} 1 &\leftrightarrow YIII\dots II, & 2 &\leftrightarrow XIII\dots II, \\ 3 &\leftrightarrow ZYII\dots II, & 4 &\leftrightarrow ZXII\dots II, \\ 5 &\leftrightarrow ZZZI\dots II, & 6 &\leftrightarrow ZZXI\dots II, \\ &\vdots & &\vdots \\ 2N-1 &\leftrightarrow ZZZZ\dots ZY, & 2N &\leftrightarrow ZZZZ\dots ZX. \end{aligned} \quad (6.18)$$

A \mathcal{P}_N -beli mátrixok szimmetriái ismét egy V_N -en értelmezett Q_0 kvadratikus formát indukálnak úgy, hogy (6.5) az asszociált bilineáris forma, vagyis a (3.1)-hez hasonló összefüggés teljesül.

7. Kvadratikus formák és egy kanonikus Veldkamp-egyenes

Ebben a szakaszban egy *kanonikus* Veldkamp-egyenes lesz megkonstruálva az alábbi kvadratikus formák segítségével:

$$P(\mathbf{x}) = \binom{|\mathbf{x}|}{2} \bmod 2 = \begin{cases} 0 & \text{ha } |\mathbf{x}| \bmod 4 \in \{0, 1\}, \\ 1 & \text{ha } |\mathbf{x}| \bmod 4 \in \{2, 3\}, \end{cases} \quad (7.1a)$$

$$Q(\mathbf{x}) = \binom{|\mathbf{x}|+1}{2} \bmod 2 = \begin{cases} 0 & \text{ha } |\mathbf{x}| \bmod 4 \in \{0, 3\}, \\ 1 & \text{ha } |\mathbf{x}| \bmod 4 \in \{2, 1\}. \end{cases} \quad (7.1b)$$

Először be kell látni, hogy a (6.5) szimplektikus forma P -hez és Q -hoz asszociált bilineáris forma. Az $f(n) = \binom{n}{2} \bmod 2$ függvény releváns tulajdonságai az A. függelékben vannak összegyűjtve. Javasolt, hogy az Olvasó nézze át őket, mivel a további levezetésekben, a tömörség kedvéért, akár külön hivatkozás nélkül is alkalmazva lesznek.

Kezdjük azzal, hogy

$$\begin{aligned} P(\mathbf{x} + \mathbf{y}) &= \binom{|\mathbf{x} + \mathbf{y}|}{2} = \binom{|\mathbf{x}| + |\mathbf{y}| - 2|\mathbf{x} \cap \mathbf{y}|}{2} \bmod 2 \\ &= \binom{|\mathbf{x}| + |\mathbf{y}|}{2} + |\mathbf{x} \cap \mathbf{y}| \bmod 2 \\ &= \binom{|\mathbf{x}|}{2} + \binom{|\mathbf{y}|}{2} + |\mathbf{x}||\mathbf{y}| + |\mathbf{x} \cap \mathbf{y}| \bmod 2 \\ &= P(\mathbf{x}) + P(\mathbf{y}) + \langle \mathbf{x}, \mathbf{y} \rangle. \end{aligned} \quad (7.2)$$

Q esetében ezt az eredményt, és a P és Q közti

$$Q(\mathbf{x}) = P(\mathbf{x}) + |\mathbf{x}| \bmod 2 \quad (7.3)$$

összefüggést felhasználva,

$$\begin{aligned} Q(\mathbf{x} + \mathbf{y}) &= P(\mathbf{x} + \mathbf{y}) + |\mathbf{x} + \mathbf{y}| \bmod 2 \\ &= P(\mathbf{x}) + P(\mathbf{y}) + \langle \mathbf{x}, \mathbf{y} \rangle + |\mathbf{x}| + |\mathbf{y}| \bmod 2 \\ &= Q(\mathbf{x}) + Q(\mathbf{y}) + \langle \mathbf{x}, \mathbf{y} \rangle. \end{aligned} \quad (7.4)$$

P , illetve Q az alábbi kvadratikus felületeket definiálja:

$$H_P = \{\mathbf{x} \in V_N \mid |\mathbf{x}| \bmod 4 \in \{0, 1\}\}, \quad \text{illetve} \quad (7.5a)$$

$$H_Q = \{\mathbf{x} \in V_N \mid |\mathbf{x}| \bmod 4 \in \{0, 3\}\}. \quad (7.5b)$$

A kívánt Veldkamp-egyenes harmadik pontja a

$$C_1 = H_P * H_Q = \{\mathbf{x} \in V_N \mid |\mathbf{x}| \bmod 4 \in \{0, 2\}\} \quad (7.5c)$$

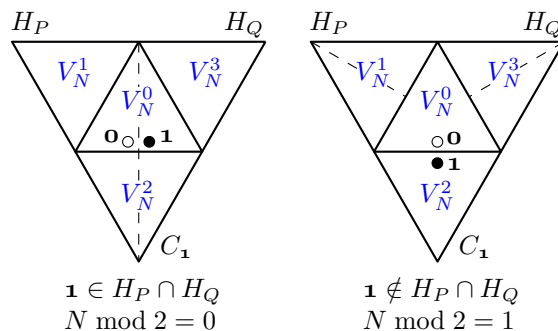
perp-halmaz. Ez összhangban van a (7.3) formulával, amiből következik, hogy

$$P(\mathbf{x}) + Q(\mathbf{x}) = |\mathbf{x}| = \langle \mathbf{x}, \mathbf{1} \rangle \pmod 2. \quad (7.6)$$

A $\{H_P, H_Q, C_1\}$ kanonikus Veldkamp-egyenes kéz a kézben jár V_N -nek a vektorméreték modulo 4 kongruenciaosztályokba való sorolása szerinti felosztásával; lásd (7.5a), (7.5b) és (7.5c). Ez a felosztás a 7.1. ábrán látható. A kis körök a $\mathbf{o} = (0, \dots, 0)$ nullvektort, a kis fekete pontok pedig az $\mathbf{1} = (1, \dots, 1)$ vektort reprezentálják. H_P és H_Q akkor és csak akkor ugyanolyan típusúak, ha $\mathbf{1} \in H_P \cap H_Q$ (részletekért lásd 3. szakasz), akkor és csak akkor, ha

$$|\mathbf{1}| \bmod 4 = 2N \bmod 4 = 2(N \bmod 2) = 0. \quad (7.7)$$

Az osztályt, amely az $|\mathbf{x}| \bmod 4 = k$ -t teljesítő \mathbf{x} vektorokat tartalmazza, V_N^k jelöli. Azt mondom, hogy V_N^k a k -adrendű osztály, elemei a k -adrendű vektorok, és a részhalmazai k -adrendűek. Például, a $H_P \cap H_Q$ mag a nulladrendű osztály.



7.1. ábra. V_N felosztásának a függése $N \bmod 2$ -től

A 7.1. ábrán a szaggatott vonalak azt jelentik, hogy egy osztály két egyforma méretű részhalmazra bontható úgy, hogy \mathbf{x} és $\mathbf{x}^c = \mathbf{x} + \mathbf{1}$ mindig különböző részhalmazokba esnek. Ez a felbontás nem egyértelmű, azonban az $(N + 2) \bmod 4$ -edrendű osztály esetében lehet olyan, hogy ha \mathbf{x} és \mathbf{y} különböző részhalmazok elemei, $|\mathbf{x}| \neq |\mathbf{y}|$. Az $N \bmod 4$ -edrendű osztály esetében ez nem igaz az N méretű vektorok miatt, ugyanis ezek komplementerének a mérete szintén N .

A két nem felbontható osztály egyforma méretű, köztük $\mathbf{x} \mapsto \mathbf{x}^c$ egy bijekció, és az uniójuk N paritásától függően C_1 vagy $\overline{C_1}$. Következésképpen, mindkettő 2^{2N-2} vektort tartalmaz. Kivonva 2^{2N-2} -t a (3.16) és (3.17) formulákból adódik,

hogy egy felbontott osztály mérete $2^{2N-2} \pm 2^{N-1}$. Legyen egy osztály A, B, illetve C típusú, ha a méretére a

$$2^{2N-2}, \quad 2^{2N-2} + 2^{N-1}, \quad \text{illetve} \quad 2^{2N-2} - 2^{N-1} \quad (7.8)$$

képlet igaz. Konkrét értékek a C. függelékben találhatóak. V_N felosztásában mindig van két A típusú, egy B típusú és egy C típusú osztály.

A H_P és H_Q kvadratikus felületek típusa megkapható $|H_P|$ -nek és $|H_Q|$ -nak a (3.16) és (3.17) formulákkal való összehasonlításából; az előbbiek függése N -től kombinatorikus módszerekkel meghatározható. Ezt azonban sokkal tanulságosabb másképp megtenni.

Tegyük fel, hogy Q_0 pillanatnyilag egy *tetszőleges* kvadratikus forma, amelyhez az asszociált bilineáris forma (6.5). (6.11) és matematikai indukció segítségével levezethető (lásd A. függelék), hogy

$$Q_0(\mathbf{x}) = \sum_{i \in \mathbf{x}} Q_0(i) + \binom{|\mathbf{x}|}{2} \pmod{2}, \quad (7.9)$$

ahol $Q_0(i)$ ugyanazt jelenti, mint $Q_0(\{i\})$. Bevezetve a

$$\mathbf{w} = \sum_{i=1}^{2N} Q_0(i) \{i\} \quad (7.10)$$

vektort, amelynek az i -edik komponense éppen $Q_0(i)$, (7.9) úgy írható, hogy

$$Q_0(\mathbf{x}) = |\mathbf{x} \cap \mathbf{w}| + P(\mathbf{x}) = \langle \mathbf{x}, \mathbf{J}\mathbf{w} \rangle + P(\mathbf{x}) \pmod{2}. \quad (7.11)$$

Definiálva a

$$\mathbf{p} = \mathbf{J}\mathbf{w} = \mathbf{J} \sum_{i=1}^{2N} Q_0(i) \{i\} \quad (7.12)$$

vektort és (3.2) segítségével átrendezve a (7.11) formulát adódik, hogy¹⁴

$$Q_{\mathbf{p}}^0(\mathbf{x}) = P(\mathbf{x}). \quad (7.13)$$

A P és Q közti (7.3) kapcsolat alapján kapjuk, hogy

$$\begin{aligned} Q(\mathbf{x}) &= Q_{\mathbf{p}}^0(\mathbf{x}) + \langle \mathbf{x}, \mathbf{1} \rangle = Q_0(\mathbf{x}) + \langle \mathbf{x}, \mathbf{p} \rangle + \langle \mathbf{x}, \mathbf{1} \rangle \\ &= Q_0(\mathbf{x}) + \langle \mathbf{x}, \mathbf{p}^c \rangle. \end{aligned} \quad (7.14)$$

¹⁴A '0' a felső indexben csak annyit jelez, hogy a kvadratikus forma Q_0 -ból lett származtatva, nem pedig Q -ból.

Következésképpen, definiálva a

$$\mathbf{q} = \mathbf{p}^c = \mathbf{J}\mathbf{w}^c = \mathbf{J} \sum_{i=1}^{2N} [1 - Q_0(i)] \{i\} \quad (7.15)$$

vektort adódik, hogy

$$Q_{\mathbf{q}}^0(\mathbf{x}) = Q(\mathbf{x}). \quad (7.16)$$

Most tegyük fel, hogy Q_0 az a hiperbólikus kvadratikus forma, amit a Pauli-operátorok szimmetriái indukálnak (lásd a 3. szakasz végét). $Q_0(i)$ -vel ellentétben, sem H_P típusa, sem H_Q típusa nem függ a V_N és $\mathcal{P}_N/Z(\mathcal{P}_N)$ közti megfeleltetési szabálytól. Következésképpen, $Q_0(\mathbf{p})$ és $Q_0(\mathbf{q})$ csak N -től függ, és ezek bármelyik alkalmas bázisvektor—ekvivalenciaosztály megfeleltetéséből meghatározhatók. A (6.18) megfeleltetést választva használható a kényelmes

$$Q_0(i) = i \bmod 2. \quad (7.17)$$

Ebből $|\mathbf{p}| = N$, és (7.13) felhasználásával adódik egy általánosan érvényes kifejezés:

$$Q_0(\mathbf{p}) = Q_{\mathbf{p}}^0(\mathbf{p}) = P(\mathbf{p}) = \binom{N}{2} \bmod 2 = \begin{cases} 0 & \text{ha } N \bmod 4 \in \{0, 1\}, \\ 1 & \text{ha } N \bmod 4 \in \{2, 3\}. \end{cases} \quad (7.18)$$

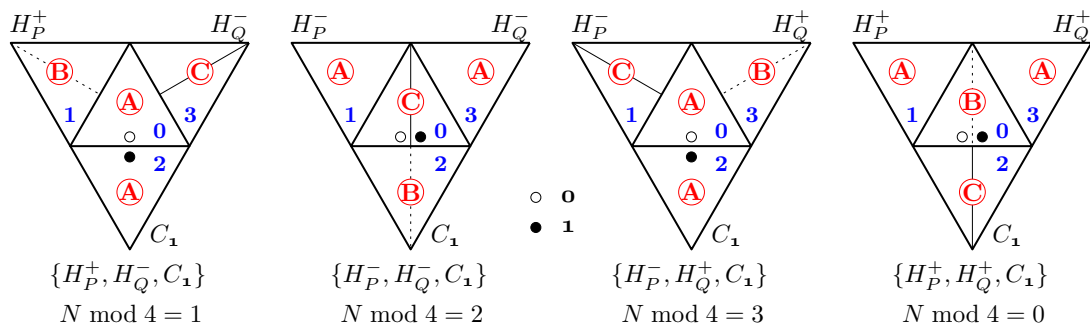
Felhívom a figyelmet, hogy ebből az érvelésből *nem* következik, hogy $|\mathbf{p}| = N$ általánosan igaz. Csak annyi következik belőle, hogy a bázisvektor—ekvivalenciaosztály megfeleltetéstől függetlenül

$$\binom{|\mathbf{p}|}{2} = \binom{N}{2} \bmod 2. \quad (7.19)$$

Mivel $|\mathbf{q}| = 2N - |\mathbf{p}| = N$, a $Q_0(\mathbf{q})$ -ra vonatkozó, (7.18) formulához hasonló kifejezés

$$Q_0(\mathbf{q}) = Q_{\mathbf{q}}^0(\mathbf{q}) = Q(\mathbf{q}) = \binom{N+1}{2} = \begin{cases} 0 & \text{ha } N \bmod 4 \in \{0, 3\}, \\ 1 & \text{ha } N \bmod 4 \in \{2, 1\}. \end{cases} \quad (7.20)$$

A H_P és H_Q kvadratikus felületek típusai, összevetve a korábbi megfigyelésekkel, a 7.2. ábrán láthatók. A piros bekarikázott betűk az osztályok típusát, a kis kék számok pedig az osztályok rendjét mutatják. Az $N \bmod 4$ -edrendű osztályról kiderül, hogy mindig B típusú. A kis kör által reprezentált nullvektor mindig a magban van, ezzel szemben a kis fekete pont által reprezentált $\mathbf{1}$ csak akkor van a magban, ha N páros.



7.2. ábra. V_N felosztásának a függése $N \bmod 4$ -től

A többi, V_N -en értelmezett kvadratikus forma (3.2) előírásai szerint akár P , akár Q segítségével is kifejezhető. Mivel (7.6) összekapcsolja P -t és Q -t,

$$\begin{aligned} P_{\mathbf{y}}(\mathbf{x}) &= P(\mathbf{x}) + \langle \mathbf{x}, \mathbf{y} \rangle = Q(\mathbf{x}) + \langle \mathbf{x}, \mathbf{1} \rangle + \langle \mathbf{x}, \mathbf{y} \rangle \\ &= Q(\mathbf{x}) + \langle \mathbf{x}, \mathbf{y}^c \rangle = Q_{\mathbf{y}^c}(\mathbf{x}). \end{aligned} \quad (7.21)$$

(3.5), (7.1a) és (7.1b) alapján,

$$P_{\mathbf{y}}(\mathbf{x}) = P(\mathbf{y}) + P(\mathbf{x} + \mathbf{y}) = \binom{|\mathbf{y}|}{2} + \binom{|\mathbf{x} + \mathbf{y}|}{2} \bmod 2, \quad (7.22a)$$

$$Q_{\mathbf{y}}(\mathbf{x}) = Q(\mathbf{y}) + Q(\mathbf{x} + \mathbf{y}) = \binom{|\mathbf{y}| + 1}{2} + \binom{|\mathbf{x} + \mathbf{y}| + 1}{2} \bmod 2. \quad (7.22b)$$

8. A kanonikus Veldkamp-egyenes stabilizátor csoportja

Ebben a szakaszban azoknak a \mathbb{Z}_2 -beli elemű, $2N \times 2N$ -es mátrixok-nak a csoportja lesz megvizsgálva, amelyek úgy hatnak V_N -re, hogy őrzik a (6.5) szimplektikus formát és a vektorok rendjét, vagy, más szavakkal, a $\{H_P, H_Q, C_1\}$ kanonikus Veldkamp-egyenes a fixpontjuk. Ezt a csoportot a *kanonikus Veldkamp-egyenes stabilizátor csoportjának* nevezem, és L_{2N} -el jelölöm.

A (6.5) formát megtartó \mathbf{M} mátrixok pontosan azok, amelyekre igaz, hogy

$$\mathbf{M}^T \mathbf{J} \mathbf{M} = \mathbf{J}. \quad (8.1)$$

Ezek az \mathbf{M} mátrixok az $\text{Sp}(2N, 2)$ *szimplektikus csoportot* alkotják, és őket is *szimplektikusnak* mondják. (6.12) alapján, a permutációs mátrixok nyilvánvalóan kielégítik a (8.1) feltételt, és így $\text{Sp}(2N, 2)$ -nek egy, az S_{2N} szimmetrikus csoporttal

izomorf részcsoportját alkotják. Ezentúl, ha csak másképp nincs jelezve, S_{2N} mindig $\text{Sp}(2N, 2)$ -nek ezt a részcsoportját¹⁵ jelenti. A permutációs mátrixok a vektorok méreteit is megtartják, és így a rendeket sem változtatják. Következésképpen,

$$S_{2N} \leq L_{2N} \leq \text{Sp}(2N, 2). \quad (8.2)$$

Ismert [3], hogy V_N -nek egy speciális transzformáció-osztálya, a *transzvektciók* osztálya olyan elemeket tartalmaz, amelyek mátrixai generálják $\text{Sp}(2N, 2)$ -t. Az $\mathbf{y} \in V_N$ vektorhoz tartozó transzvektció

$$T_{\mathbf{y}} : V_N \rightarrow V_N, \quad T_{\mathbf{y}}(\mathbf{x}) = \mathbf{x} + \langle \mathbf{y}, \mathbf{x} \rangle \mathbf{y} = (\mathbf{I} + \mathbf{y} \circ \mathbf{y}^T \mathbf{J}) \mathbf{x}. \quad (8.3)$$

Ebből $T_{\mathbf{y}}$ -nek a a kanonikus bázisra vett mátrixa:

$$\mathbf{T}_{\mathbf{y}} = \mathbf{I} + \mathbf{y} \circ \mathbf{y}^T \mathbf{J}. \quad (8.4)$$

A továbbiakban transzvektciók alatt a $\mathbf{T}_{\mathbf{y}}$ mátrixokat kell érteni. Ezek teljesítik azt, hogy

$$\mathbf{T}_{\mathbf{y}}^2 = \mathbf{I}, \quad \mathbf{T}_{\mathbf{y}} \mathbf{T}_{\mathbf{z}} \mathbf{T}_{\mathbf{y}} = \mathbf{T}_{\mathbf{T}_{\mathbf{y}} \mathbf{z}}. \quad (8.5)$$

Ha $\langle \mathbf{y}, \mathbf{z} \rangle = 1$, $\mathbf{T}_{\mathbf{T}_{\mathbf{y}} \mathbf{z}}$ úgy alakul, hogy $\mathbf{T}_{\mathbf{y}+\mathbf{z}}$, ami \mathbf{y} -ban és \mathbf{z} -ben szimmetrikus. Következésképpen,

$$\mathbf{T}_{\mathbf{y}} \mathbf{T}_{\mathbf{z}} \mathbf{T}_{\mathbf{y}} = \mathbf{T}_{\mathbf{z}} \mathbf{T}_{\mathbf{y}} \mathbf{T}_{\mathbf{z}} = \mathbf{T}_{\mathbf{y}+\mathbf{z}}. \quad (8.6)$$

A (8.4) formulában \mathbf{y} helyébe \mathbf{o} -t, illetve $\mathbf{1}$ -et helyettesítve adódik, hogy

$$\mathbf{T}_{\mathbf{o}} = \mathbf{I}, \quad \text{illetve} \quad \mathbf{T}_{\mathbf{1}} = \mathbf{I} + \mathbf{1} \circ \mathbf{1}^T = \mathbf{J}. \quad (8.7)$$

A (8.5) azonosságok *Coxeter-relációk* néven ismertek [2]. A levezetés technikai részletei iránt érdeklődő Olvasó megtalálja őket a B. függelékben, ahol annak a bizonyítása is helyet kap, hogy a $\mathbf{T}_{\mathbf{y}}$ transzvektciók szimplektikusak.

$|\mathbf{y}| = 2$ esetén $\mathbf{T}_{\mathbf{y}}$ egy, a kanonikus bázison értelmezett transzpozíció. Nevezetesen, \mathbf{T}_{ij} felcseréli az $\{i\}$ és $\{j\}$ bázisvektorokat, és minden $\{k\}$, $k \neq i, j$ a fixpontja. Ezek a transzpozíciók generálják S_{2N} -t, vagyis bármely \mathbf{P} permutációs mátrix transzpozíciók $\mathbf{T}_{ij} \cdots \mathbf{T}_{kl}$ szorzataként írható. A (8.5) Coxeter-relációkból azt kapjuk, hogy

$$\begin{aligned} \mathbf{P} \mathbf{T}_{\mathbf{y}} \mathbf{P}^{-1} &= (\mathbf{T}_{ij} \cdots \mathbf{T}_{kl}) \mathbf{T}_{\mathbf{y}} (\mathbf{T}_{ij} \cdots \mathbf{T}_{kl})^{-1} = (\mathbf{T}_{ij} \cdots \mathbf{T}_{kl}) \mathbf{T}_{\mathbf{y}} (\mathbf{T}_{kl} \cdots \mathbf{T}_{ij}) \\ &= \mathbf{T}_{\mathbf{T}_{ij} \cdots \mathbf{T}_{kl} \mathbf{y}} \\ &= \mathbf{T}_{\mathbf{P} \mathbf{y}}. \end{aligned} \quad (8.8)$$

¹⁵ $\text{Sp}(2N, 2)$ -nek több olyan részcsoportja van, amely S_{2N} -nel izomorf, azonban S_{2N} mindig a permutációs mátrixok részcsoportjára utal.

Következésképpen, ha \mathbf{y} fixpontja \mathbf{P} -nek,

$$\mathbf{P}\mathbf{T}_{\mathbf{y}} = \mathbf{T}_{\mathbf{y}}\mathbf{P}. \quad (8.9)$$

Ennek a szakasznak a fő eredménye a következő:

8.1. Tétel. L_{2N} -t a másodrendű \mathbf{y} vektorok szerinti $\mathbf{T}_{\mathbf{y}}$ transzvektciók generálják, vagyis azok a $\mathbf{T}_{\mathbf{y}}$ -ok, amelyekre $|\mathbf{y}| \bmod 4 = 2$.

A bizonyítás menete a következő. Először, a teljesség kedvéért, a 6. szakasz formalizmusában megmutatom, hogy a transzvektciók valóban generálják $\mathrm{Sp}(2N, 2)$ -t. Ezután megmutatom, hogy ugyanez az érvelés hogyan és miért alkalmazható L_{2N} -re. Az érvelés egyes részei a [3] munkából lettek átvéve és egyszerűsítve.

Minden \mathbf{M} szimplektikus mátrixhoz egyértelműen tartozik egy

$$B = \{\mathbf{e}_1, \dots, \mathbf{e}_{2N}\} \quad (8.10)$$

off-diagonális bázis úgy, hogy \mathbf{M} B -t V_N kanonikus bázisára képezi, ráadásul

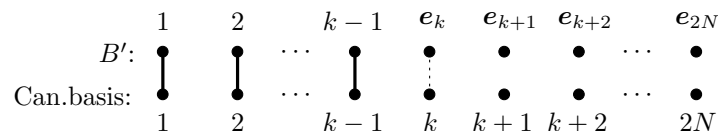
$$\mathbf{M}\mathbf{e}_i = \{i\} \equiv i, \quad i = 1, \dots, 2N. \quad (8.11)$$

Ha B és a kanonikus bázis diszjunktak, keresni kell a transzvektcióknak egy olyan szorzatát, amely B -t egy B' off-diagonális bázisra képezi úgy, hogy \mathbf{e}_1 képe 1. Ha $\langle 1, \mathbf{e}_1 \rangle = 1$, $\mathbf{T}_{1+\mathbf{e}_1}$ erre alkalmas, de ha $\langle 1, \mathbf{e}_1 \rangle = 0$, $\mathbf{T}_{1+\mathbf{e}_1}$ nem működik. (6.5) alapján, $\langle 1, \mathbf{e}_1 \rangle = 0$ kétféleképpen fordulhat elő: vagy $|\mathbf{e}_1|$ páros és $1 \notin \mathbf{e}_1$, vagy $|\mathbf{e}_1|$ páratlan és $1 \in \mathbf{e}_1$. Az első esetben létezik $i \in \mathbf{e}_1$, a második esetben létezik $i \notin \mathbf{e}_1$, és mindkét esetben ez az i kielégíti azt, hogy

$$\langle i, 1 \rangle = \langle i, \mathbf{e}_1 \rangle = 1. \quad (8.12)$$

Következik, hogy

$$\mathbf{T}_{i+\mathbf{e}_1}\mathbf{e}_1 = i, \quad \mathbf{T}_{i+1}i = 1 \quad \text{és} \quad \mathbf{T}_{i+1}\mathbf{T}_{i+\mathbf{e}_1}\mathbf{e}_1 = 1. \quad (8.13)$$



8.1. ábra. A két bázis kapcsolata

Ezután messe B a kanonikus bázist $k-1$ darab vektorban valamely $k \geq 2$ -re. B -t megfelelő, \mathbf{T}_{ij} és $\mathbf{T}_{\mathbf{e}_i+\mathbf{e}_j}$ alakú transzvektciókkal képezve egy olyan off-diagonális

B' bázis kapható, amelynek az első $k - 1$ bázisvektora $1, \dots, k - 1$ (8.1. ábra). Az előző bekezdéshez képest az érvelés kissé elbonyolódik, mivel most egy olyan transzvektió-szorzatot kell keresni, amely nem pusztán \mathbf{e}_k -t képezi k -ra, hanem minden $j < k$ a fixpontja. Mivel az utóbbiakra igaz, hogy

$$\langle j, k \rangle = \langle j, \mathbf{e}_k \rangle = 1, \quad (8.14)$$

ha $\langle k, \mathbf{e}_k \rangle = 1$, $\mathbf{T}_{k+\mathbf{e}_k}$ megteszi a szolgálatot. Mint előbb, $\mathbf{T}_{k+\mathbf{e}_k}$ nem működik, ha $\langle k, \mathbf{e}_k \rangle = 0$. Ekkor, ha $|\mathbf{e}_k|$ páros, (8.14) miatt $k \notin \mathbf{e}_k$ és minden $j < k$ -ra $j \in \mathbf{e}_k$. Következik, hogy létezik olyan $i > k$, amelyre $i \in \mathbf{e}_k$, és így $\langle i, \mathbf{e}_k \rangle = 1$, különben \mathbf{e}_k a $j < k$ -t teljesítő j -k összege, sértve ezzel B' lineáris függetlenségét. Ez az i kielégíti azt is, hogy

$$\langle i, k \rangle = \langle i, j \rangle = 1, \quad j < k. \quad (8.15)$$

Következésképpen,

$$\mathbf{T}_{i+k} \mathbf{T}_{i+\mathbf{e}_k} \mathbf{e}_k = k \quad \text{és} \quad \mathbf{T}_{i+k} \mathbf{T}_{i+\mathbf{e}_k} j = j, \quad j < k. \quad (8.16)$$

Ha $\langle k, \mathbf{e}_k \rangle = 0$ és $|\mathbf{e}_k|$ páratlan, (8.14) miatt $k \in \mathbf{e}_k$ és minden $j < k$ -ra $j \notin \mathbf{e}_k$. Namármost, ha k páros, belefuthatunk abba a szerencsétlen esetbe, amikor

$$\mathbf{e}_k = \{k, k + 1, k + 2, \dots, 2N\}. \quad (8.17)$$

Ha k páratlan, vagy a (8.17) esetet sikerült másképp elkerülni, választható olyan $i > k$, amelyre $i \notin \mathbf{e}_k$, és így $\langle i, \mathbf{e}_k \rangle = 1$; ezek után (8.15) és (8.16) szerint kell eljárni. Ha (8.17) fennáll, választani kell egy olyan $\mathbf{e}_l \in B'$ bázisvektort, amelyre $l > k$, $\mathbf{T}_{\mathbf{e}_k+\mathbf{e}_l}$ -vel képezni kell B' -t, hogy \mathbf{e}_k és \mathbf{e}_l felcserélődjön¹⁶, majd \mathbf{e}_l -el újra kell kezdeni mindent a (8.14) formulától. Ezúttal (8.17) biztosan nem fordul elő, mivel ha $\langle k, \mathbf{e}_l \rangle = 0$ és $|\mathbf{e}_l|$ páratlan, $\mathbf{e}_l \subseteq \mathbf{e}_k$, és így $\langle \mathbf{e}_k, \mathbf{e}_l \rangle = 0$, ami ellentmondás.

Így, lépésről lépésre a (8.10)-beli B bázis a kanonikus bázisra képződik, és csak transzvektiók felhasználásával, amelyek szorzata nem lehet más, mint \mathbf{M} .

Mielőtt az érvelést L_{2N} -re alkalmaznám, észre kell venni a következőt:

8.2. Lemma. k darab páronként nemortogonális, $\alpha = \pm 1 \pmod{4}$ -edrendű $\mathbf{x}_1, \dots, \mathbf{x}_k$ vektor összege $\alpha k \pmod{4}$ -edrendű.

Bizonyítás. Ez k -ra vett indukcióval bizonyítható. Ha $k = 1$, az állítás triviálisan igaz. Legyen

$$\mathbf{s}_k = \mathbf{x}_1 + \dots + \mathbf{x}_k. \quad (8.18)$$

Az indukciós hipotézis úgy hangzik, hogy

$$|\mathbf{s}_k| = \alpha k \pmod{4}. \quad (8.19)$$

¹⁶Emlékeztető: $\mathbf{T}_{\mathbf{e}_k+\mathbf{e}_l}$ felcseréli \mathbf{e}_k -t és \mathbf{e}_l -t, és B' többi eleme a fixpontja.

Mivel a vektorok páronként nemortogonálisak,

$$\langle \mathbf{s}_k, \mathbf{x}_{k+1} \rangle = \langle \mathbf{x}_1, \mathbf{x}_{k+1} \rangle + \cdots + \langle \mathbf{x}_k, \mathbf{x}_{k+1} \rangle = k \pmod{2}. \quad (8.20)$$

A bal oldalt (6.5) segítségével kiírva és az indukciós hipotézist felhasználva, a (8.19) formulából adódik, hogy

$$\langle \mathbf{s}_k, \mathbf{x}_{k+1} \rangle = |\mathbf{s}_k| |\mathbf{x}_{k+1}| + |\mathbf{s}_k \cap \mathbf{x}_{k+1}| = k + |\mathbf{s}_k \cap \mathbf{x}_{k+1}| \pmod{2}. \quad (8.21)$$

A (8.21) és (8.20) formulákból látszik, hogy $|\mathbf{s}_k \cap \mathbf{x}_{k+1}|$ páros, tehát valamely nemnegatív m egészre egyenlő $2m$ -mel. Következik, hogy

$$|\mathbf{s}_k + \mathbf{x}_{k+1}| = |\mathbf{s}_k| + |\mathbf{x}_{k+1}| - 4m = \alpha(k+1) \pmod{4}. \quad (8.22)$$

Vö: (6.4). Tehát, az $\mathbf{s}_{k+1} \equiv \mathbf{s}_k + \mathbf{x}_{k+1}$ vektor $\alpha(k+1)$ -edrendű, ahogy vártuk. \square

A 8.2. lemmából következik, és ez visz közelebb a fő eredményhez, hogy ha egy \mathbf{M} szimplektikus mátrix a kanonikus bázist valamely elsőrendű off-diagonális bázisra képezi ($\alpha = 1$), \mathbf{M} őrzi a vektorok rendjét, és így $\mathbf{M} \in L_{2N}$. Mivel az L_{2N} -beli mátrixok ezt definíciószerűen tudják, egy \mathbf{M} szimplektikus mátrix akkor és csak akkor eleme L_{2N} -nek, ha a kanonikus bázist valamely elsőrendű off-diagonális bázisra képezi, vagy, ami ezzel ekvivalens, ha \mathbf{M} valamely elsőrendű off-diagonális bázist a kanonikus bázisra képez.

Most ugorjunk vissza a (8.10) bázishoz, és tegyük fel, hogy az elsőrendű, ami azt jelenti, hogy $\mathbf{M} \in L_{2N}$. Gondosan megvizsgálva az ezután következő érvelést, látható, hogy benne szereplő transzvektciók $\mathbf{T}_{\mathbf{a}+\mathbf{b}}$ alakúak, ahol $\langle \mathbf{a}, \mathbf{b} \rangle = 1$, \mathbf{a} vagy szingleton, vagy $\mathbf{a} \in B \subseteq V_N^1$, és ugyanez igaz \mathbf{b} -re is. Következésképpen, a 8.2. lemma alapján, $\mathbf{a} + \mathbf{b}$ másodrendű. Ezeknek a transzvektcióknak a szorzata \mathbf{M} -mel egyenlő, és ezzel a 8.1. tétel bizonyításának vége.

9. Veldkamp-egyenesek a szimplektikus faktorte- rekben

A 7. szakaszban tárgyaltaknak megfelelően, V_N -nek a 6. szakaszban ismertett formalizmusa a \mathcal{P}_N N -qubit Pauli-csoportnak egy kanonikus Veldkamp-egyenesét emeli ki. Ez a Veldkamp-egyenes két kvadratikus felületből, H_P -ből és H_Q -ből, és a többiek közül kiváló $\mathbf{1}$ vektor C_1 perp-halmazából áll. A 7. szakaszban láttuk, hogy H_P és H_Q típusa, és ezzel egyidőben a kanonikus Veldkamp-egyenes típusa hogyan függ N -től (7.2. ábra).

\mathcal{P}_N maradék, az (5.14) típusok között lévő típusú Veldkamp-egyenesei szintén megközelíthetők kombinatorikusan. Triviális, hogy ezek megkonstruálhatók a $P_{\mathbf{y}}$ és $Q_{\mathbf{y}}$ kvadratikus formák kvadratikus felületeiből; lásd (7.22a) és (7.22b). Viszont kevésbé triviális megkonstruálni őket egy $W \subseteq V_{N+\dim W}^0$ izotróp altér W^\perp/W szimplektikus faktorterében a P és Q által meghatározott kvadratikus felületekből. Ebben a szakaszban az lesz részletezve, hogy ez hogyan lehetséges.

Kezdeként érdemes átismételni néhány általános, a szimplektikus faktorterekre vonatkozó eredményt. Emlékezzünk vissza, hogy egy $W \leq V_N$ izotróp alteret az definiálja, hogy $W \leq W^\perp$. W^\perp/W elemei

$$\mathbf{x} + W, \quad \mathbf{x} \in W^\perp \quad (9.1)$$

alakú mellékosztályok, és W^\perp/W vektorösszeadása

$$(\mathbf{x} + W) + (\mathbf{x}' + W) = (\mathbf{x} + \mathbf{x}') + W. \quad (9.2)$$

A V_N -en értelmezett $\langle \cdot, \cdot \rangle$ szimplektikus forma egy W^\perp/W -n értelmezett szimplektikus formát indukál:

$$\langle \cdot, \cdot \rangle_{\text{fs}} : (W^\perp/W) \times (W^\perp/W) \rightarrow \mathbb{Z}_2, \quad \langle \mathbf{x} + W, \mathbf{x}' + W \rangle_{\text{fs}} = \langle \mathbf{x}, \mathbf{x}' \rangle. \quad (9.3)$$

Ez a definíció konzisztens: ha $\mathbf{w}, \mathbf{w}' \in W$,

$$\langle \mathbf{x} + \mathbf{w}, \mathbf{x}' + \mathbf{w}' \rangle = \langle \mathbf{x}, \mathbf{x}' \rangle + \underbrace{\langle \mathbf{w}, \mathbf{x}' \rangle}_{=0} + \underbrace{\langle \mathbf{x}, \mathbf{w}' \rangle}_{=0} + \underbrace{\langle \mathbf{w}, \mathbf{w}' \rangle}_{=0} = \langle \mathbf{x}, \mathbf{x}' \rangle. \quad (9.4)$$

(3.11) alapján,

$$\dim W^\perp/W = \dim W^\perp - \dim W = 2(N - \dim W). \quad (9.5)$$

Tehát, W^\perp/W egy szimplektikus vektortér, és $V_{N-\dim W}$ -vel izomorf.

Egy V_N -en értelmezett, W elemeit lenullázó Q kvadratikus forma egy W^\perp/W -n értelmezett kvadratikus formát indukál:

$$Q^{\text{fs}} : W^\perp/W \rightarrow \mathbb{Z}_2, \quad Q^{\text{fs}}(\mathbf{x} + W) = Q(\mathbf{x}). \quad (9.6)$$

Ez a definíció is konzisztens: ha $\mathbf{w} \in W$,

$$Q(\mathbf{x} + \mathbf{w}) = Q(\mathbf{x}) + \underbrace{Q(\mathbf{w})}_{=0} + \underbrace{\langle \mathbf{x}, \mathbf{w} \rangle}_{=0} = Q(\mathbf{x}). \quad (9.7)$$

A $\langle \cdot, \cdot \rangle_{\text{fs}}$ szimplektikus forma a Q^{fs} -hez asszociált bilineáris forma: ha $\mathbf{x}, \mathbf{x}' \in W^\perp$,

$$\begin{aligned} Q^{\text{fs}}(\mathbf{x} + \mathbf{x}' + W) &= Q(\mathbf{x} + \mathbf{x}') = Q(\mathbf{x}) + Q(\mathbf{x}') + \langle \mathbf{x}, \mathbf{x}' \rangle \\ &= Q^{\text{fs}}(\mathbf{x} + W) + Q^{\text{fs}}(\mathbf{x}' + W) + \langle \mathbf{x} + W, \mathbf{x}' + W \rangle_{\text{fs}}. \end{aligned} \quad (9.8)$$

A többi, W^\perp/W -n értelmezett kvadratikus forma (3.2) szerint az alábbi módon írható: ha $\mathbf{x}, \mathbf{y} \in W^\perp$,

$$\begin{aligned} Q_{\mathbf{y}+W}^{\text{fs}}(\mathbf{x} + W) &= Q^{\text{fs}}(\mathbf{x} + W) + \langle \mathbf{x} + W, \mathbf{y} + W \rangle_{\text{fs}} \\ &= Q(\mathbf{x}) + \langle \mathbf{x}, \mathbf{y} \rangle = Q_{\mathbf{y}}(\mathbf{x}). \end{aligned} \quad (9.9)$$

V_N -nek minden $U \geq W$ Lagrange-alteréhez egyértelműen tartozik W^\perp/W -nek egy U' Lagrange-altere: U' tartalmazza W -nek az U -ban lévő mellékosztályait, és az U' -beli W -mellékosztályok uniója U . Ezen alapszik V_N -beli és a W^\perp/W -beli kvadratikus felületek típusai közti kapcsolat.

9.1. Lemma. *Egy $H \subseteq V_N$ kvadratikus felület akkor és csak akkor hiperbólikus, ha bármely $W \subseteq H$ izotróp altér valamely $U \subseteq H$ Lagrange-altér része. Továbbá, ha H elliptikus, minden $W \subseteq H$ izotróp altér egy $N - 1$ -dimenziós $Y \subseteq H$ izotróp altérnek a részhalmaza.*

Bizonyítás. Legyen H a Q kvadratikus forma felülete, $W \subseteq H$ egy izotróp altér, és $M \subseteq H$ egy maximális izotróp altér úgy, hogy $W \subseteq M$. Az M^\perp/M -en értelmezett Q^{fs} kvadratikus forma egy $H^{\text{fs}} \subseteq M^\perp/M$ kvadratikus felületet ad meg, és M maximalitásából következik, hogy $H^{\text{fs}} = \{M\}$. Namármost, H^{fs} vagy hiperbólikus, vagy elliptikus. Feltéve, hogy az előbbi, a

$$2^{k-1}(2^k + 1) = 1 \quad (9.10)$$

egyenletet megoldva k -ra adódik, hogy $k = \dim M^\perp/M = 0$. Következésképpen, M egy Lagrange-altér és H egy hiperbólikus kvadratikus felület. Ezután, feltéve, hogy H^{fs} elliptikus, a

$$2^{k-1}(2^k - 1) = 1 \quad (9.11)$$

egyenletből $k = \dim M^\perp/M = 1$. Mivel ekkor $M^\perp/M \cong V_1$,

$$M^\perp/M = \{M, \mathbf{x} + M, \mathbf{y} + M, \mathbf{z} + M\}, \quad (9.12)$$

és teljesülnek az alábbi összefüggések:

$$\langle \mathbf{x}, \mathbf{y} \rangle = \langle \mathbf{x}, \mathbf{z} \rangle = \langle \mathbf{y}, \mathbf{z} \rangle = 1 \quad \text{és} \quad \mathbf{z} = \mathbf{x} + \mathbf{y}. \quad (9.13)$$

Mivel $\mathbf{y} + M \notin H^{\text{fs}}$, (3.6) alapján,

$$H_{\mathbf{y}+M}^{\text{fs}} = \{M, \mathbf{x} + M, \mathbf{z} + M\}. \quad (9.14)$$

$H_{\mathbf{y}+M}^{\text{fs}}$ egy hiperbólikus kvadratikus felület, mivel tartalmazza, például, az

$$\{M, \mathbf{x} + M\} \leq M^\perp/M \quad (9.15)$$

Lagrange-alteret. A $Q_{\mathbf{y}+M}^{\text{fs}}$ -et indukáló, V_N -et leképező $Q_{\mathbf{y}}$ kvadratikus forma a

$$M \cup (\mathbf{x} + M) \leq V_N \quad (9.16)$$

Lagrange-altéren eltűnik, ezért a $H_{\mathbf{y}} \subseteq V_N$ kvadratikus felület hiperbólikus. (9.6) alapján,

$$Q(\mathbf{y}) = Q^{\text{fs}}(\mathbf{y} + M) = 1, \quad (9.17)$$

azaz $\mathbf{y} \notin H$. Következik, hogy a H kvadratikus felület elliptikus. \square

9.2. Következmény. *A V_N -en értelmezett Q kvadratikus forma $H \subseteq V_N$ kvadratikus felülete ugyanolyan típusú, mint a $H^{\text{fs}} \subseteq W^\perp/W$ indukált kvadratikus felület, amit a W^\perp/W -n értelmezett, Q által indukált Q^{fs} határoz meg.*

Ezekkel felfegyverkezve, tekintsük egy $W \subseteq V_{N+\dim W}^0$ izotróp altér W^\perp/W szimplektikus faktorterét. A (7.1a) formulával megadott P kvadratikus forma egy W^\perp/W -n értelmezett P^{fs} kvadratikus formát indukál. (9.6) miatt P^{fs} akkor és csak akkor nullázza az $\mathbf{x} + W$ mellékosztályt, ha P minden $\mathbf{x}' \in \mathbf{x} + W$ -re nulla. A (7.1b)-beli Q által indukált Q^{fs} -re ugyanez igaz. Következik, hogy

$$|\mathbf{x}_1| = |\mathbf{x}_2| \pmod{4}, \quad \mathbf{x}_1, \mathbf{x}_2 \in \mathbf{x} + W \quad (9.18)$$

minden $\mathbf{x} + W \in W^\perp/W$ mellékosztályra fennáll, és ez lehetővé teszi a mellékosztályok „mértékének” az értelmezését:

$$\|\cdot\| : W^\perp/W \rightarrow \{0, \dots, 3\}, \quad \|\mathbf{x} + W\| = |\mathbf{x}| \pmod{4}. \quad (9.19)$$

Ezzel a leképezéssel P^{fs} és Q^{fs} kifejezhető úgy, hogy

$$P^{\text{fs}}(\mathbf{x} + W) = \binom{\|\mathbf{x} + W\|}{2} \pmod{2} = \begin{cases} 0 & \text{ha } \|\mathbf{x} + W\| \in \{0, 1\}, \\ 1 & \text{ha } \|\mathbf{x} + W\| \in \{2, 3\}, \end{cases} \quad (9.20a)$$

$$Q^{\text{fs}}(\mathbf{x} + W) = \binom{\|\mathbf{x} + W\| + 1}{2} \pmod{2} = \begin{cases} 0 & \text{ha } \|\mathbf{x} + W\| \in \{0, 3\}, \\ 1 & \text{ha } \|\mathbf{x} + W\| \in \{2, 1\}; \end{cases} \quad (9.20b)$$

vö: (7.1a) és (7.1b). Egy másik lényeges megfigyelés, hogy

$$\langle \mathbf{x} + W, \mathbf{1} + W \rangle_{\text{fs}} = \begin{cases} 0 & \text{ha } \|\mathbf{x} + W\| \in \{0, 2\}, \\ 1 & \text{ha } \|\mathbf{x} + W\| \in \{1, 3\}. \end{cases} \quad (9.20c)$$

Tegyük fel, hogy $\mathbf{1} \in W$. Ekkor $\mathbf{1} + W = W$, és

$$C_{\mathbf{1}+W} = C_W = W^\perp/W, \quad (9.21)$$

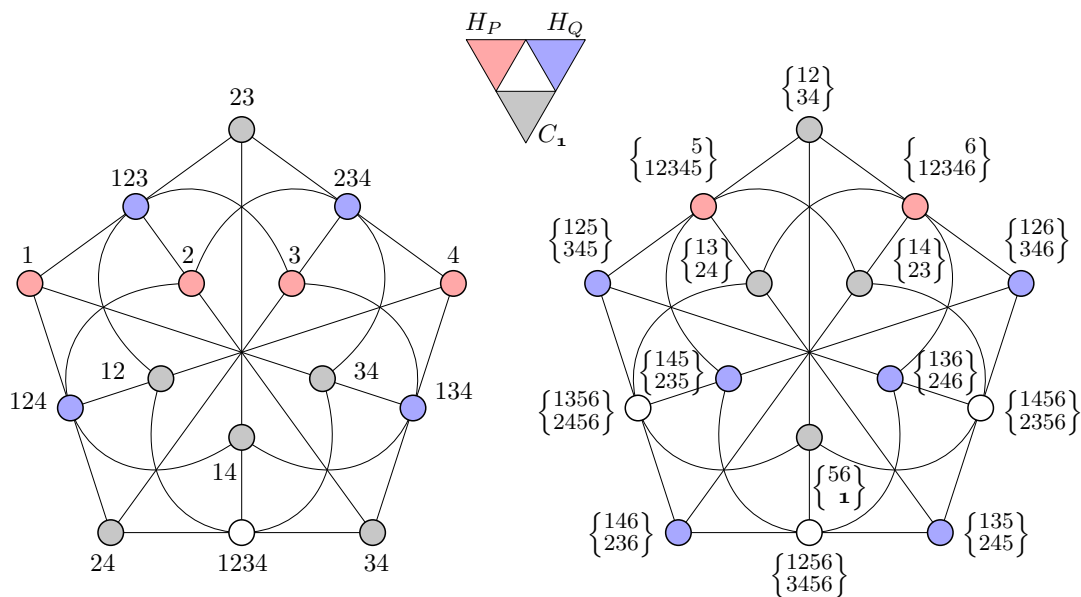
mivel W a W^\perp/W faktortér nullvektora. (9.20c) miatt $\|\mathbf{x} + W\|$ minden $\mathbf{x} + W \in W^\perp/W$ -re páros, és emiatt a P^{fs} által megadott H_P^{fs} és a Q^{fs} által megadott H_Q^{fs} kvadratikus felületek egybeesnek. Mivel $\mathbf{1} \in W$ csak páros $N + \dim W$ esetén fordulhat elő, és ekkor H_P és H_Q ugyanolyan típusúak, nincs ellentmondás: H_P^{fs} és H_Q^{fs} ugyanolyan típusú, mint H_P vagy H_Q .

Ha $\mathbf{1} \notin W$, lennie kell olyan $\mathbf{x} + W$ mellékosztálynak, amelyre $\|\mathbf{x} + W\|$ páratlan, különben minden $\mathbf{x} \in W^\perp$ -re $|\mathbf{x}|$ páros. Emiatt $H_P^{\text{fs}} \neq H_Q^{\text{fs}}$, és a $\{H_P, H_Q, C_1\}$ kanonikus Veldkamp-egyenes egy

$$\{H_P^{\text{fs}}, H_Q^{\text{fs}}, C_{1+W}\} \quad (9.22)$$

Veldkamp-egyeneset indukál, amely ugyanolyan típusú, mint az eredeti; lásd (5.14).

Az elhangzott gondolatokat a 9.1. ábra szemlélteti. Ismert, hogy \mathcal{G}_2 pontosan a $\text{GQ}(2, 2)$ általánosított négyzög. A bal oldali diagram \mathcal{G}_2 -nek a V_2 vektortér felőli megközelítését mutatja, a jobb oldali pedig azt, hogy \mathcal{G}_2 hogyan néz ki a W^\perp/W szimplektikus faktortér szemszögéből, ahol $W = \{\mathbf{o}, 1234\} \subseteq V_3^0$. Látszik, hogy a két diagramon lévő Veldkamp-egyenesek *különböző* típusúak.



9.1. ábra. Veldkamp-egyenes a szimplektikus faktortérben

A. Függelék: $\binom{n}{2} \bmod 2$ és Q_0 tulajdonságai

Először beássuk magunkat az $f(n) = \binom{n}{2} \bmod 2$ függvény rejtelmeibe, majd a (7.9) összefüggést is bizonyítjuk. $\binom{n}{2}$ egyszerűen csak egy rövidített jelölése annak, hogy

$\frac{1}{2}n(n-1)$, ahol n bármilyen egész szám lehet. Könnyen meg lehet győződni róla, hogy a mindkét irányban végtelen $f(n)$, $n \in \mathbb{Z}$ sorozat úgy néz ki, hogy

$$\dots \quad 1 \quad 0 \quad 0 \quad 1 \quad 1 \quad \mathbf{0} \quad 0 \quad 1 \quad 1 \quad 0 \quad 0 \quad 1 \quad \dots, \quad (\text{A.1})$$

ahol a félkövér nulla $f(0)$ -t jelöli, és n balról jobbra nő. Ez a sorozat tömören úgy írható, hogy

$$f(n) = \begin{cases} 0 & \text{ha } n \bmod 4 \in \{0, 1\}, \\ 1 & \text{ha } n \bmod 4 \in \{2, 3\}. \end{cases} \quad (\text{A.2})$$

Számítógépen $f(n)$ -et egy olyan függvény valósítja meg, amely az n egész szám kettes-komplementum reprezentációjának a második legkisebb helyiértékű bitjét adja vissza. Így minden k egészre

$$f(n+2k) = \binom{n+2k}{2} = \binom{n}{2} \pm k = f(n) \pm k \pmod{2}. \quad (\text{A.3})$$

Elemi algebra alapján, tetszőleges m és n egészekre igaz, hogy

$$f(m+n) = \binom{m+n}{2} = \binom{m}{2} + \binom{n}{2} + mn = f(m) + f(n) + mn \pmod{2}. \quad (\text{A.4})$$

A jobb oldalon a harmadik tag a legkisebb helyiértékű bitek összeadásából származó átvitel, feltéve, hogy m és n kettes-komplementum alakban van. Az (A.4) formulában m helyébe 1-et helyettesítve,

$$f(n+1) = \binom{n+1}{2} = \binom{n}{2} + n = f(n) + n \pmod{2}. \quad (\text{A.5})$$

Az (A.3) összefüggést alkalmazva a jobb oldalon, kapjuk, hogy

$$f(n+1) = \binom{3n}{2} \pmod{2} = \binom{-n}{2} \pmod{2} = \begin{cases} 0 & \text{ha } n \bmod 4 \in \{0, 3\}, \\ 1 & \text{ha } n \bmod 4 \in \{2, 1\}, \end{cases} \quad (\text{A.6})$$

mivel $3 = -1 \pmod{4}$.

Most már nekifoghatunk (7.9) bizonyításának. Ha $|\mathbf{x}| = 2$, vagyis ha valamely $i, j \in [2N]$ -re $\mathbf{x} = ij$, (3.1) és $\langle i, j \rangle = 1$ miatt (7.9) triviálisan igaz:

$$Q_0(ij) = Q_0(i) + Q_0(j) + 1 = Q_0(i) + Q_0(j) + \binom{2}{2} \pmod{2}. \quad (\text{A.7})$$

Legyen $n \notin \mathbf{x}$. A (7.9) formulát, mint indukciós hipotézist $Q_0(\mathbf{x})$ -re alkalmazva,

$$\begin{aligned} Q_0(\mathbf{x} + n) &= Q_0(\mathbf{x}) + Q_0(n) + \langle \mathbf{x}, n \rangle \\ &= \sum_{i \in \mathbf{x}} Q_0(i) + \binom{|\mathbf{x}|}{2} + Q_0(n) + \langle \mathbf{x}, n \rangle \pmod{2}. \end{aligned} \quad (\text{A.8})$$

A jobb oldal utolsó tagja úgy írható, hogy

$$\langle \mathbf{x}, n \rangle = \sum_{i \in \mathbf{x}} \langle i, n \rangle = |\mathbf{x}| \pmod{2}. \quad (\text{A.9})$$

Visszahelyettesítve az (A.8) formulába, éppen az $\mathbf{x} + n$ -re vonatkozó (7.9) adódik:

$$\begin{aligned} Q_0(\mathbf{x} + n) &= \sum_{i \in \mathbf{x} + n} Q_0(i) + \binom{|\mathbf{x}|}{2} + |\mathbf{x}| \pmod{2} \\ &= \sum_{i \in \mathbf{x} + n} Q_0(i) + \binom{|\mathbf{x}| + 1}{2} \pmod{2} \\ &= \sum_{i \in \mathbf{x} + n} Q_0(i) + \binom{|\mathbf{x} + n|}{2} \pmod{2}. \end{aligned} \quad (\text{A.10})$$

B. Függelék: a transzvekciónak tulajdonságai

Az első dolog, amit a $T_{\mathbf{y}}$ transzvekciónak kapcsolatban tisztázni kell az, hogy a $\mathbf{T}_{\mathbf{y}}$ mátrixuk szimplektikus. Ahogy a 8. szakaszban is elhangzott, az *utóbbiak* fogom transzvekciónak hívni. \mathbf{M} helyébe $\mathbf{T}_{\mathbf{y}}$ -t helyettesítve, (8.1) bal oldala így alakul:

$$\begin{aligned} \mathbf{T}_{\mathbf{y}}^T \mathbf{J} \mathbf{T}_{\mathbf{y}} &= (\mathbf{I} + \mathbf{J} \mathbf{y} \circ \mathbf{y}^T) \mathbf{J} (\mathbf{I} + \mathbf{y} \circ \mathbf{y}^T \mathbf{J}) \\ &= \mathbf{J} + (\mathbf{J} \mathbf{y} \circ \mathbf{y}^T \mathbf{J}) + (\mathbf{J} \mathbf{y} \circ \mathbf{y}^T \mathbf{J}) + (\mathbf{J} \mathbf{y} \circ \mathbf{y}^T \mathbf{J} \mathbf{y} \circ \mathbf{y}^T \mathbf{J}). \end{aligned} \quad (\text{B.1})$$

A jobb oldal második és harmadik tagja kiejti egymást, és a negyedik tag eltűnik, mivel középen $\mathbf{y}^T \mathbf{J} \mathbf{y} = \langle \mathbf{y}, \mathbf{y} \rangle$. Emiatt $\mathbf{T}_{\mathbf{y}}$ -ra (8.1) igaz, tehát $\mathbf{T}_{\mathbf{y}} \in \text{Sp}(2N, 2)$.

Ezután megmutatom, hogy a (8.5) azonosságok fennállnak. $\mathbf{T}_{\mathbf{y}}$ és $\mathbf{T}_{\mathbf{z}}$ szorzata:

$$\begin{aligned} \mathbf{T}_{\mathbf{y}} \mathbf{T}_{\mathbf{z}} &= (\mathbf{I} + \mathbf{y} \circ \mathbf{y}^T \mathbf{J}) (\mathbf{I} + \mathbf{z} \circ \mathbf{z}^T \mathbf{J}) \\ &= \mathbf{I} + (\mathbf{y} \circ \mathbf{y}^T \mathbf{J}) + (\mathbf{z} \circ \mathbf{z}^T \mathbf{J}) + (\mathbf{y} \circ \mathbf{y}^T \mathbf{J} \mathbf{z} \circ \mathbf{z}^T \mathbf{J}). \end{aligned} \quad (\text{B.2})$$

A jobb oldal utolsó tagjának a közepe $\mathbf{y}^T \mathbf{J} \mathbf{z} = \langle \mathbf{y}, \mathbf{z} \rangle$. Következésképpen,

$$\mathbf{T}_{\mathbf{y}} \mathbf{T}_{\mathbf{z}} = \mathbf{I} + (\mathbf{y} \circ \mathbf{y}^T \mathbf{J}) + (\mathbf{z} \circ \mathbf{z}^T \mathbf{J}) + \langle \mathbf{y}, \mathbf{z} \rangle (\mathbf{y} \circ \mathbf{z}^T \mathbf{J}). \quad (\text{B.3})$$

Ennek két fontos következménye van. Egyrészt, ha $\mathbf{y} = \mathbf{z}$, a bal oldalon $\mathbf{T}_{\mathbf{y}}^2$ lesz, míg a jobb oldal második és harmadik tagja kiejti egymást, és a negyedik tag eltűnik. Ez igazolja, hogy $\mathbf{T}_{\mathbf{y}}$ egy involúció. Másrészt, ha $\langle \mathbf{y}, \mathbf{z} \rangle = 0$, (B.3) jobb oldala \mathbf{y} -ban és \mathbf{z} -ben szimmetrikus, és ekkor $\mathbf{T}_{\mathbf{y}}$ és $\mathbf{T}_{\mathbf{z}}$ kommutálnak:

$$\mathbf{T}_{\mathbf{y}} \mathbf{T}_{\mathbf{z}} = \mathbf{T}_{\mathbf{z}} \mathbf{T}_{\mathbf{y}}. \quad (\text{B.4})$$

Most feltételezve, hogy $\langle \mathbf{y}, \mathbf{z} \rangle = \langle \mathbf{y}, \mathbf{y} + \mathbf{z} \rangle = 1$, és felhanszálva a (B.3) formulát,

$$\mathbf{T}_{\mathbf{y}+\mathbf{z}}\mathbf{T}_{\mathbf{y}} = \mathbf{I} + [(\mathbf{y} + \mathbf{z}) \circ (\mathbf{y} + \mathbf{z})^T \mathbf{J}] + (\mathbf{y} \circ \mathbf{y}^T \mathbf{J}) + [(\mathbf{y} + \mathbf{z}) \circ \mathbf{y}^T \mathbf{J}] \quad (\text{B.5})$$

A zárójelek felbontása és a kétszeres tagok elhagyása után (B.3) jobb oldala adódik. Következésképpen, ha $\langle \mathbf{y}, \mathbf{z} \rangle = 1$,

$$\mathbf{T}_{\mathbf{y}}\mathbf{T}_{\mathbf{z}} = \mathbf{T}_{\mathbf{y}+\mathbf{z}}\mathbf{T}_{\mathbf{y}}. \quad (\text{B.6})$$

(B.4) és (B.6) összevonható:

$$\mathbf{T}_{\mathbf{y}}\mathbf{T}_{\mathbf{z}} = \mathbf{T}_{\mathbf{T}_{\mathbf{y}}\mathbf{z}}\mathbf{T}_{\mathbf{y}}. \quad (\text{B.7})$$

Ezt jobb oldalról szorozva $\mathbf{T}_{\mathbf{y}}$ -nal, megkapjuk (8.5) második azonosságát.

C. Függelék: számtáblázatok

A perp-halmazokban és a kvadratikus felületeken lévő vektorok száma.

Lásd (3.16) és (3.17).

N	1	2	3	4	5	6	7	8	9	10	11
$ C_{\mathbf{y}} $	2	8	32	128	512	2048	8192	32 768	131 072	524 288	2 097 152
$ H $, hip	3	10	36	136	528	2080	8256	32 896	131 328	524 800	2 098 176
$ H $, ell	1	6	28	120	496	2016	8128	32 640	130 816	523 776	2 096 128

Az osztályok elemszáma V_N felosztásában. Lásd (7.8) és 7.2. ábra.

N	1	2	3	4	5	6	7	8	9	10	11
A típus	1	4	16	64	256	1024	4096	16 384	65 536	262 144	1 048 576
B típus	2	6	20	72	272	1056	4160	16 512	65 792	262 656	1 049 600
C típus	0	2	12	56	240	992	4032	16 256	65 280	261 632	1 047 552

Hivatkozások

- [1] Francis Buekenhout and Arjeh M. Cohen. *Diagram Geometry Related to Classical Groups and Buildings*. Vol. 57. A Series of Modern Surveys in Mathematics. Springer-Verlag, 2013. URL: <http://www.win.tue.nl/~amc/buek/book1n2.pdf>.

- [2] Bianca Letizia Cerchiai and Bert van Geemen. “From qubits to E_7 ”. In: *Journal of Mathematical Physics* 51 (12 2010), p. 122203. DOI: [10.1063/1.3519379](https://doi.org/10.1063/1.3519379). URL: <http://arxiv.org/abs/1003.4255v1>.
- [3] Yaim Cooper. *Generators of the Symplectic Group*. 2005. URL: <http://www-math.mit.edu/~dav/sympgen.pdf>.
- [4] Péter Lévy, Michel Planat, and Metod Saniga. “Grassmannian connection between three- and four-qubit observables, Mermin’s contextuality and black holes”. In: *Journal of High Energy Physics* Volume 2013 (9 2013), Article:37. URL: <http://arxiv.org/abs/1305.5689v2>.
- [5] Péter Lévy and Zsolt Szabó. “Mermin pentagrams arising from Veldkamp lines for three qubits”. In: (2016). URL: <https://arxiv.org/abs/1608.03400>.
- [6] N. David Mermin. “Hidden variables and the two theorems of John Bell”. In: *Rev. Mod. Phys.* 65 (3 1993), pp. 803–815. DOI: [10.1103/RevModPhys.65.803](https://doi.org/10.1103/RevModPhys.65.803). URL: <http://link.aps.org/doi/10.1103/RevModPhys.65.803>.
- [7] David A. Richter. “Gosset’s figure in a Clifford algebra”. In: *Advances in Applied Clifford Algebras* 14 (2 2004), pp. 215–224. DOI: [10.1007/s00006-004-0014-4](https://doi.org/10.1007/s00006-004-0014-4). URL: <http://www.maths.ed.ac.uk/~aar/papers/richtere8.pdf>.
- [8] Metod Saniga et al. “The Veldkamp Space of $GQ(2,4)$ ”. In: *International Journal of Geometric Methods in Modern Physics* 7 (2010), pp. 1133–1145. URL: <http://arxiv.org/abs/0903.0715>.
- [9] Ron Shaw. “Finite Geometry, Dirac Groups and the Table of Real Clifford Algebras”. In: *Clifford Algebras and Spinor Structures: A Special Volume Dedicated to the Memory of Albert Crumeyrolle (1919–1992)*. Ed. by Rafał Ablamowicz and Pertti Lounesto. Vol. 321. Mathematics and Its Applications. Dordrecht: Springer Netherlands, pp. 59–99. ISBN: 978-94-015-8422-7. DOI: [10.1007/978-94-015-8422-7_4](https://doi.org/10.1007/978-94-015-8422-7_4). URL: <http://www.hull.ac.uk/php/masrs/1995/Shaw261copy2b.pdf>.
- [10] Ernest E. Shult. *Points and Lines Characterizing the Classical Geometries*. Berlin Heidelberg: Springer-Verlag, 2011.
- [11] Péter Vrana and Péter Lévy. “The Veldkamp space of multiple qubits”. In: *Journal of Physics A: Mathematical and Theoretical* 43.12 (2010), p. 125303. URL: <https://arxiv.org/abs/0906.3655v3>.